



تحلیل ترک در مسائل انتشار-ترموالاستیسیته تعمیم یافته با استفاده از روش المان محدود توسعه یافته

هادی بشیرنژاد دهقان^۱، محمد باقر نظری^۲ و مسعود مهدی زاده رخی^{۳*}

^۱ کارشناس ارشد، دانشکده مهندسی مکانیک و مکاترونیک، دانشگاه صنعتی شاهرود، شاهرود، ایران

^۲ استادیار، دانشکده مهندسی مکانیک و مکاترونیک، دانشگاه صنعتی شاهرود، شاهرود، ایران

^۳ استادیار، دانشکده مهندسی مکانیک و مکاترونیک، دانشگاه صنعتی شاهرود، شاهرود، ایران

مقاله مستقل، تاریخ دریافت: ۱۴۰۰/۰۱/۲۷؛ تاریخ بازنگری: ۱۴۰۰/۰۴/۰۴؛ تاریخ پذیرش: ۱۴۰۰/۰۵/۱۴

چکیده

در این مقاله، رفتار یک ترک ساکن در محیط محدود انتشار-ترموالاستیسیته تعمیم یافته تحت شوک دمایی و غلظت بررسی شده است. ترک با استفاده از روش المان محدود توسعه یافته مدل سازی و ضرایب شدت تنش با بکارگیری روش انتگرال برهم کنش استخراج شده اند. برای مطالعه پدیده انتشار گرما و غلظت از تئوری های تعمیم یافته گرین - نقدی و غیرفیک استفاده شده است. روش المان محدود توسعه یافته برای گسسته سازی معادلات در فضا و روش ضمنی نیومارک جهت انتگرال گیری زمانی مورد استفاده قرار گرفته است. برای بارگذاری های مختلف (شوگ گرمایی و غلظت)، ضرایب شدت تنش، توزیع دمای نوک ترک و توزیع انتشار نوک ترک مطالعه شده است؛ همچنین اثر سرعت موج تنش، موج غلظت و موج دما روی ضرایب شدت تنش برای ترک های مستقیم و مایل بررسی شده است. مشاهده می شود، برای حالتی که سرعت موج تنش و موج دما یکسان و بیشتر از سرعت موج غلظت است، افزایش ضریب شدت تنش سریع تر و بیشتر از حالت های دیگر است.

کلمات کلیدی: انتشار-ترموالاستیسیته تعمیم یافته؛ تئوری گرین نقدی؛ تئوری غیر فیک؛ ترک؛ ضرایب شدت تنش.

Crack Analysis in Diffusion-Generalized Thermoelasticity Problems Using the Extended Finite Element Method

H. Bashirnezhad Dehghan¹, M. B. Nazari², M. Mahdizadeh Rokhi^{3,*}

¹ MA, Faculty of Mechanical and Mechatronics Engineering, Shahrood University of Technology, Shahrood, Iran.

² Assistant. Prof., Faculty of Mechanical and Mechatronics Engineering, Shahrood University of Technology, Shahrood, Iran.

³ Assistant. Prof., Faculty of Mechanical and Mechatronics Engineering, Shahrood University of Technology, Shahrood, Iran.

Abstract

In this paper, the behavior of a stationary crack in a generalized diffusion-thermoelasticity medium under temperature and concentration shock has been investigated. Cracks have been modeled using the extended finite element method and stress intensity factors have been obtained using the interaction integral method. To study the phenomenon of heat dissipation and concentration, generalized Green-Naghdi and non-Fickian theories have been used. The extended finite element method has been developed to discrete equations in space and the Newmark implicit method has been used to calculate time integrals. For different loads (heat shock and concentration), stress intensity factors and temperature and concentration distribution at the crack tip have been studied. The effect of stress wave velocity, concentration wave and temperature wave on stress intensity factors for straight and oblique cracks has also been investigated. It is observed that for the case where the speed of the stress wave, and the temperature wave are the same and greater than the speed of the concentration wave, the increase of the stress intensity factors is faster and higher in other states.

Keywords: Diffusion - Generalized Thermoelasticity; Green-Naghdi Theory; non-Fickian theory; Crack; Stress Intensity Factors.

۱- مقدمه

امروزه مسئله انتقال هم‌زمان گرما و ماده در صنایع گوناگون مشاهده می‌شود. به عنوان نمونه، می‌توان دستیابی به آلیاژهای فلزی با استحکام قابل قبول برای کار در شرایط سخت دمایی را اشاره کرد که یکی از موضوع‌های مورد علاقه محققان علم مواد است. یکی از مشکلات فرآیند ساخت این است که سطح آلیاژهای فلزی در دماهای بالا به راحتی اکسید می‌شود. پس از ایجاد ناحیه سطحی اکسیدی، اکسیژن در این ناحیه نفوذ کرده و به سطح فلزی می‌رسد که بر اثر آن اکسید شدن سطح فلزی جدید را در پی دارد.

در برخی موارد، نتایج تحلیل این مسائل براساس تئوری کلاسیک انتشار-ترموالاستیسیته با داده‌های آزمایشگاهی اختلاف بسیاری دارند [۱]. این مشکل در نهایت منجر به ارائه نظریه‌های انتشار-ترموالاستیسیته تعمیم یافته شده است. سرعت انتقال امواج گرما در تئوری‌های ترموالاستیسیته تعمیم یافته، به علت استفاده از زمان‌های آسایش و فرم هذلولوی معادله هدایت گرمایی، محدود است که باعث گسترش تئوری‌های هدایت گرمایی غیر کلاسیک می‌شود [۲]. مطالعه و بررسی نظریه‌های ترموالاستیسیته تعمیم یافته توسط هتارسکی و اسلامی انجام شده است [۳].

تاکنون، مطالعاتی در مورد نقش لایه اکسیدی در ادامه فرآیند اکسیداسیون سطح فلز و پیشرفت آن انجام شده [۴] و [۵] که نتیجه قابل ذکر آن‌ها، ارائه معادلات ماکرو مکانیک این پدیده است. در پدیده اکسیداسیون، نفوذ اتم‌های اکسیژن در ناحیه اکسید شده، باعث ایجاد تنش و گرادیان دمایی در این ناحیه می‌شود. به طوری که در توصیف دقیق این پدیده برهم‌کنش سه میدان تغییر شکل، غلظت اتم‌های اکسیژن و دما در نظر گرفته می‌شود [۶ و ۷].

عثمان و همکاران مسئله دو بعدی کوپل انتشار-الاستیسیته برای یک صفحه محدود همگن و غیرهمگن تابعی با روش عددی بدون المان پتروف-گلرکین حل و تغییر زمانی تنش و غلظت ماده منتشرشده در یک نقطه بررسی شده است [۸]. لی و همکاران [۹]، پاسخ زمانی یک نیم صفحه با ضرایب هدایت گرمایی و نفوذپذیری متغیر با دما را با در نظر گرفتن معادلات انتشار-ترموالاستیسیته تعمیم یافته گذرای غیر خطی بدست آوردند. آنها نشان دادند که هدایت

حرارتی و نفوذپذیری متغیر تأثیر مهمی بر گسترش موج حرارتی و موج انتشار دارد. اودی و همکاران [۱۰]، یک تئوری انتشار-ترموالاستیسیته اصلاح شده را برای تحلیل مسائل در ابعاد میکرو پیشنهاد کردند. این نظریه غیر خطی ترمودینامیک برای مواد الاستیک است که در آن ذرات تحت میدان‌های جابجایی، دما و انتشار جرم کلاسیک قرار می‌گیرند. آنها نشان دادند که کوپلینگ بین دما، پتانسیل شیمیایی، میکرو دما و غلظت‌های میکرو حتی برای اجسام همسانگرد وجود دارد.

شارما و همکاران [۱۱]، حل تحلیلی مسئله انتشار-ترموالاستیسیته تعمیم یافته در حالت کرنش صفحه‌ای برای یک ماده همگن همسانگرد تحت یک نیروی عمودی، منبع حرارتی و منبع پتانسیل شیمیایی را ارائه کردند. آنها برای حل مسئله از تکنیک‌های تبدیل لاپلاس و فوریه استفاده نموده و جابجایی‌ها، تنش‌ها، توزیع دما و توزیع پتانسیل شیمیایی را بدست آوردند.

لی و همکاران [۱۲]، اثر سورت^۱ بر پاسخ گذرای یک نوار باریک را با در نظر گرفتن معادلات انتشار-ترموالاستیسیته تعمیم یافته، گزارش کردند که یک انتهای آن در معرض اختلالات حرارتی و شیمیایی است. آنها مدل جدیدی از انتشار - ترموالاستیسیته تعمیم یافته را با اثر سورت ایجاد کردند و پاسخ‌های شوک گذرا را بررسی کردند. آنها برای حل مسئله از تکنیک‌های تبدیل لاپلاس استفاده کردند. نتایج نشان داد که اثر سورت، اثرات قابل توجهی بر پتانسیل شیمیایی، جابجایی، تنش و غلظت دارد.

لی و همکاران [۱۳]، یک مطالعه تحلیلی از پاسخ‌های گذرای یک استوانه توخالی تحت شوک حرارتی و شیمیایی با در نظر گرفتن معادلات انتشار-ترموالاستیسیته تعمیم یافته انجام دادند. آنها معادلات حاکم را با استفاده از روش‌های تبدیل لاپلاس استخراج و حل کردند و مقادیر بی بعد دما، پتانسیل شیمیایی، جابجایی، تنش، غلظت، شار گرما و شار انتشار در امتداد جهت شعاعی استوانه را بدست آوردند.

زنکور [۱۴] مسئله انتشار-ترمو الاستیک را برای یک فضای نیمه همسانگرد حل کرد. او از مدل گرین - نقدی با و

^۱ Soret

۲- انتگرال برهمکنش

در رابطه (۱) فرم متداول انتگرال J برای یک ترک با صرف نظر کردن از اعمال نیرو به سطوح آن آورده شده است [۱۷]:

$$J = \lim_{\Gamma_s \rightarrow 0} \int_{\Gamma_s} (W\delta_{1j} - \sigma_{ij}u_{i,1})n_j d\Gamma_s \quad (1)$$

که در این رابطه n_j بردار نرمال بر مسیر Γ_s ، u_i و σ_{ij} به ترتیب مولفه های جابجایی و تنش و W چگالی انرژی کرنشی است و با رابطه (۲) تعریف می شود:

$$W = \frac{1}{2} \sigma_{ij} \varepsilon_{ij}^m \quad (2)$$

ε_{ij} مولفه های کرنش هستند. با در نظر گرفتن تابع پیوسته q و اعمال قضیه دیورژانس، انتگرال J با استفاده از انتگرال ناحیه ای معادل، مطابق با رابطه (۳) بدست می آید [۱۸]. لازم به ذکر است که q برای مرز داخلی یک و برای مرز خارجی صفر در نظر گرفته می شود.

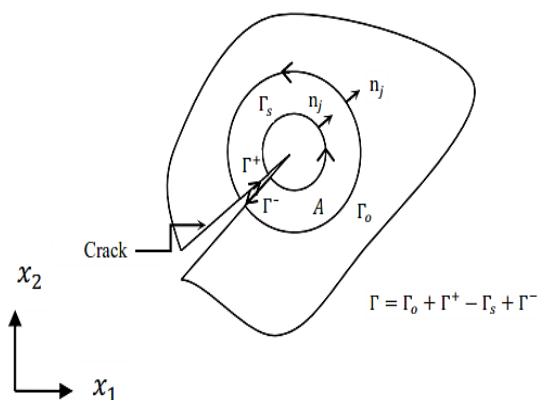
$$J = \int_A (\sigma_{ij}u_{i,1} - W\delta_{1j})q_{,j} dA + \int_A (\sigma_{ij}u_{i,1} + W\delta_{1j})_{,j} q dA \quad (3)$$

ناحیه انتگرال گیری A در شکل ۱ نشان داده شده است که ناحیه محصور به منحنی Γ است.

برای یک سیستم خطی با اعمال بارگذاری اصلی و بارگذاری کمکی، انتگرال J به صورت رابطه (۴) بیان می شود.

$$J^S = J + J^{aux} + M \quad (4)$$

در رابطه (۴)، J مقدار انتگرال J در حالت اصلی است و همچنین J^{aux} مقدار انتگرال J در حالت کمکی است و M هم انتگرال برهمکنش است که در رابطه (۵) بیان شده است [۱۸].



شکل ۱- تبدیل فرم کانتوری انتگرال J به فرم ناحیه ای [۱۵]

بدون اتلاف انرژی استفاده کرد و چند مدل جدید با تاخیر فاز یگانه/دوگانه برای بررسی رفتار انتشار- ترمو الاستیک محیط ارائه کرد؛ همچنین تئوری گرین-نقدی نوع II و III ساده و مدل های اصلاح شده آنها را بررسی کرد.

لی و همکاران [۱۵]، یک نظریه غیر محلی مواد انتشار دهنده ترموالاستیک را توسعه دادند و اثرات غیر محلی فضایی انتقال حرارت و جرم را برای اولین بار در نظر گرفتند و با کمک اصول ترمودینامیکی، روابط ساختاری شامل طول های مشخصه وابسته به اندازه را بدست آوردند. مدل نظری پیشنهادی آنها از جنبه کاربردی بیشتر برای بررسی پاسخ های دینامیکی حرارتی- الاستیک-انتشار در یک محیط نیمه بی نهایت یک بعدی که یک انتهای آن تحت شوک های وابسته به زمان است و نیز تکنیک های نیمه تحلیلی بر اساس روش های تبدیل لاپلاس برای بدست آوردن حل های گذرا مناسب است.

زنکور [۱۶] مسئله انتشار-حرارت یک صفحه دایره ای ضخیم ایزوتروپیک را با استفاده از اشکال ساده مدل های گرین و نقدی شامل اتلاف انرژی حل کرد. او نشان داد، مدل گرین-نقدی نوع II با تأخیر فاز یگانه کمترین مقدار میدان را نتیجه می دهد؛ در حالی که مدل ساده گرین - نقدی نوع III بیشترین مقدار را دارد؛ همچنین مدل G-N نوع III با تاخیر فاز دوگانه نتایج متوسطی را بین مدل های گرین - نقدی نوع III با تاخیر فاز یگانه و گرین - نقدی ساده نوع III ارائه می دهد.

با توجه به اینکه در تمام تحقیقاتی که تا کنون روی معادلات انتشار-ترموالاستیسیته تعمیم یافته انجام شده است، جسم بدون ترک در نظر گرفته شده است، در این تحقیق قصد داریم اثر میدان های کوپله تنش، دما و غلظت را روی ضرایب شدت تنش در نوک ترک بررسی کنیم. به همین منظور در این مقاله یک صفحه مستطیلی ایزوتروپیک شامل، ترک عایق گرمایی و انتشار در معرض شوک گرمایی مورد مطالعه قرار گرفته است. هدف بررسی اثر برهم کنش متقابل میدان های الاستیسیته، گرما و انتشار بر تغییرات زمانی ضرایب شدت تنش است. معادلات حاکم خطی بوده و مسئله با روش المان محدود توسعه یافته حل می شود.

$$+ \int_A ((-\alpha_0^T \epsilon_{II}^{aux} T) \frac{\partial(\Delta T)}{\partial x_1}) q dA$$

$$+ \int_A \left((-\alpha_0^C \epsilon_{II}^{aux} C) \frac{\partial(\Delta C)}{\partial x_1} \right) q dA \quad (۱۳)$$

۳- استخراج ضرایب شدت تنش

رابطه بین انتگرال J و ضرایب شدت تنش K_I و K_{II} به صورت رابطه (۱۴) است [۱۹]:

$$J = \frac{K_I^2 + K_{II}^2}{E'} \quad (۱۴)$$

همچنین، با توجه به رابطه (۱۴) انتگرال برهم کنش M را می توان بر حسب ضرایب شدت تنش K_I و K_{II} به صورت (۱۵) بازنویسی کرد [۱۹]:

$$M = \frac{2}{E'} (K_I K_I^{aux} + K_{II} K_{II}^{aux}) \quad (۱۵)$$

در رابطه بالا، E' به صورت رابطه (۱۶) بیان می شود [۱۴]:

$$E' = \begin{cases} E & \text{تنش صفحه ای} \\ E/(1 - \nu^2) & \text{کرنش صفحه ای} \end{cases} \quad (۱۶)$$

ضرایب شدت تنش K_I و K_{II} را می توان با انتخاب صحیح میدان های کمکی (مادهای خالص I و II) و نیز با استفاده از انتگرال برهم کنش M، به صورت زیر بدست آورد [۱۹]:

$$K_I = \frac{E'}{2} M^{(1)}, (K_I^{aux} = 1, K_{II}^{aux} = 0) \quad (۱۷)$$

$$K_{II} = \frac{E'}{2} M^{(2)}, (K_I^{aux} = 0, K_{II}^{aux} = 1) \quad (۱۸)$$

۴- معادلات حاکم بر انتشار در محیط ترموالاستیسیته

در اینجا به منظور تحلیل یک سازه تحت انتشار سیال از شکل کوپل معادلات انتشار-ترموالاستیسیته استفاده می شود. معادله حرکت، معادله تعادل جرم و معادله انرژی عبارتند از [۲۰]:

$$\sigma_{ij,j} + f_i = \rho \ddot{u}_i \quad (۱۹)$$

$$\dot{\mu} + \dot{\mu}^{(a)} = \frac{I}{c_0} - \frac{\beta' J_{i,i}}{c_0} \quad (۲۰)$$

$$C^T \ddot{T} + \gamma^T T_0 \ddot{u}_{j,j} = \kappa^* T_{,ii} \quad (۲۱)$$

در رابطه فوق، σ تانسور تنش، f بردار نیروی کالبدی بر واحد حجم، u_i بردار جابه جایی، $\mu^{(a)}$ اینرسی پتانسیل شیمیایی، I منبع انتشار، c_0 غلظت مولی و ρ چگالی، T دما، T_0 دمای اولیه، κ^* ثابت ماده، C^T گرمای ویژه است.

$$M = \int_A (\sigma_{ij} u_{i,1}^{aux} + \sigma_{ij}^{aux} u_{i,1} - W^{int} \delta_{1j}) q_{,j} dA$$

$$+ \int_A (\sigma_{ij} u_{i,1j}^{aux} + \sigma_{ij}^{aux} u_{i,1j} - W_{,1}^{int}) q dA \quad (۵)$$

W^{int} تابع چگالی انرژی کرنشی برهمکنش است که از رابطه (۶) بدست می آید.

$$W^{int} = \frac{1}{2} (\sigma_{ik} \epsilon_{ik}^{aux} + \sigma_{ik}^{aux} \epsilon_{ik}^m) \quad (۶)$$

اگر از عبارت دوم رابطه (۵) مشتق گیری شود، با توجه به رابطه تعادل ($\sigma_{ij,j} = 0$) و رابطه سازگاری میدان های اصلی و میدان های کمکی، انتگرال برهم کنش به صورت رابطه (۷) بدست می آید.

$$M = \int_A (\sigma_{ij} u_{i,1}^{aux} + \sigma_{ij}^{aux} u_{i,1} - W^{int} \delta_{1j}) q_{,j} dA$$

$$+ \int_A (\sigma_{ij} u_{i,1j}^{aux} + \sigma_{ij}^{aux} u_{i,1j} - W_{,1}^{int}) q dA \quad (۷)$$

مشتق رابطه (۶) را می توان به صورت (۸) نوشت:

$$\frac{\partial W^{int}}{\partial x_1} = \sigma_{ij} u_{i,j1}^{aux} + \sigma_{ij}^{aux} u_{i,j1} + \left(\frac{\partial W^{int}}{\partial x_1} \right)_{expl} \quad (۸)$$

در رابطه (۸) عبارت $\left(\frac{\partial W^{int}}{\partial x_1} \right)_{expl}$ را می توان با رابطه (۹) نوشت:

$$\left(\frac{\partial W^{int}}{\partial x_1} \right)_{expl} = \frac{\partial W^{int}}{\partial(\Delta T)} \frac{\partial(\Delta T)}{\partial x_1} + \frac{\partial W^{int}}{\partial(\Delta C)} \frac{\partial(\Delta C)}{\partial x_1} \quad (۹)$$

با جایگذاری معادله ساختاری بر حسب کرنش کل (۹)، اختلاف دما (ΔT) و غلظت رطوبت (ΔC) در رابطه (۶) می توان انرژی کرنشی برهمکنش را به صورت (۱۰) نوشت:

$$W^{int} = \sigma_{ij} \epsilon_{ij}^{aux} 2\mu (\epsilon_{ij} \epsilon_{ij}^{aux}) + \lambda \epsilon_{kk} \epsilon_{ij}^{aux} - \alpha_0^C \epsilon_{II}^{aux} C - \alpha_0^T \epsilon_{II}^{aux} T \quad (۱۰)$$

با مشتق گیری از رابطه (۱۰) نسبت به ΔT و ΔC روابط (۱۱) و (۱۲) به دست می آیند:

$$\frac{\partial W^{int}}{\partial(\Delta T)} = -\alpha_0^T \epsilon_{II}^{aux} \quad (۱۱)$$

$$\frac{\partial W^{int}}{\partial(\Delta C)} = -\alpha_0^C \epsilon_{II}^{aux} \quad (۱۲)$$

با جایگذاری روابط به دست آمده (۱۱) و (۱۲) در رابطه (۷) فرم نهایی انتگرال برهمکنش برای بارگذاری گرمایی-انتشار به صورت رابطه (۱۳) ارائه می شود.

$$M = \int_A (\sigma_{ij} u_{i,1}^{aux} + \sigma_{ij}^{aux} u_{i,1} - W^{int} \delta_{ij}) q_{,j} dA$$

معادلات ساختاری عبارت است از:

$$\begin{aligned} \sigma_{ij} &= C_{ijkl}\epsilon_{kl} - \alpha_{ij}^c c - \alpha_{ij}^T T \\ &= 2\mu\epsilon_{ij} + \lambda\epsilon_{kk}\delta_{ij} - \alpha_{ij}^c c\delta_{ij} - \alpha_{ij}^T T\delta_{ij} \end{aligned} \quad (22)$$

$$\mu = \alpha_{ij}^c \epsilon_{ij} + \beta c \quad (23)$$

$$\rho S = S = \alpha_{ij}^T \epsilon_{ij} + \rho C^T T \quad (24)$$

در رابطه بالا σ_{ij} مولفه‌های تانسور تنش، ϵ_{ij} مولفه‌های تانسور کرنش، c غلظت مولی، μ پتانسیل شیمیایی، S آنروپی، α_{ij}^T ضریبی برای اتصال بین تنش و غلظت، α_{ij}^c ضریبی برای اتصال بین تنش و درجه حرارت، J_i شار انتشار است.

قانون فیک برای مواد ایزوتروپیک و همگن به شرح زیر است [۲۰]:

$$J_i = -D_{ij}c_{,j} = -D_0\delta_{ij}c_{,j} = -D_0c_{,i} \quad (25)$$

در رابطه (۲۵) D_0 ضریب انتشار است و در رابطه (۲۶) وابستگی $\mu^{(a)}$ به میزان غلظت نشان داده شده است:

$$\mu^{(a)} = \gamma^c c \quad (26)$$

در رابطه (۲۶)، γ ضریب وابستگی است. β در رابطه (۲۳) عبارت است از:

$$\beta = \frac{\beta'}{c_0} = \frac{RT}{c_0} \quad (27)$$

در رابطه فوق R ثابت جهانی گازها و T دمای مطلق است. با صرف نظر کردن از نیروهای کالبدی و منابع انتشار معادلات حاکم را می‌توان به صورت زیر نوشت:

$$\sigma_{ij,j}(x, t) = \rho \ddot{u}_i(x, t) \quad (28)$$

$$\dot{\mu}(x, t) + \dot{\mu}^{(a)}(x, t) = -\frac{\beta' J_{i,i}}{c_0}(x, t) \quad (29)$$

$$C^T \ddot{T}(x, t) + \gamma^T T_0 \ddot{u}_{j,j}(x, t) = \kappa^* T_{,ii}(x, t) \quad (30)$$

برای مواد ایزوتروپیک و همگن، تانسور الاستیسیته و ضرایب ماده به صورت زیر است [۲۰]:

$$C_{ijkl} = \frac{2\nu G}{1-2\nu} \delta_{ij}\delta_{kl} + G\delta_{ik}\delta_{jl} + G\delta_{il}\delta_{jk} \quad (31)$$

$$\alpha_{ij}^c = \alpha_0^c \delta_{ij} \quad (32)$$

$$\alpha_{ij}^T = \alpha_0^T \delta_{ij} \quad (33)$$

رابطه سینماتیک برای تغییر شکل‌های بسیار کوچک به قرار زیر است [۲]:

$$\epsilon_{i,j} = \frac{1}{2}(u_{i,j} + u_{j,i}) \quad (34)$$

در رابطه فوق ϵ تانسور کرنش کل است.

معادلات حاکم بر انتشار سیال در محیط ترموالاستیسیته

را می‌توان به صورت زیر بازنویسی کرد:

$$\mu u_{i,jj} + (\lambda + \mu) u_{j,ij} + \mu u_{1,22} - \beta^c c_{,i} - \beta^T T_{,i} = \rho \ddot{u}_i \quad (35)$$

$$\alpha_0^c (\dot{u}_{i,i}) + \beta \dot{c} + \gamma^c \dot{c} = \beta D_0 (c_{,ii}) \quad (36)$$

$$\rho c \ddot{T} + \beta^T T_0 (\ddot{u}_{i,i}) = \kappa^* (T_{,ii}) \quad (37)$$

در روابط فوق c غلظت مولی، β^c ضریب حرارتی مکانیکی، β^T ضریب شیمیایی مکانیکی، u جابجایی، β ثابت پتانسیل شیمیایی، D_0 ضریب پخش و κ^* ثابت ماده است.

۵- بی‌بعد سازی معادلات حاکم

به منظور بی‌بعد سازی معادلات حاکم از پارامترهای بدون بعد زیر استفاده شده است:

$$\hat{x} = \frac{x}{L} \quad (38)$$

$$\hat{u}_i = \frac{u_i}{L} \quad (39)$$

$$\hat{C} = \frac{\beta^c}{\lambda + 2\mu} (C - C_0) \quad (40)$$

$$\hat{T} = \frac{\beta^T}{\lambda + 2\mu} (T - T_0) \quad (41)$$

در این روابط L طول مشخصه است. معادلات حاکم بر انتشار سیال در محیط ترموالاستیسیته بعد از فرآیند بی‌بعد سازی به صورت زیر قابل بیان هستند:

$$\begin{aligned} \left(\frac{\mu}{\lambda + 2\mu}\right) \hat{u}_{i,jj} + \left(\frac{\lambda + \mu}{\lambda + 2\mu}\right) \hat{u}_{j,ij} \\ - \hat{C}_{,i} - \hat{T}_{,i} = \frac{\rho V^2}{\lambda + 2\mu} \hat{\ddot{u}}_i \end{aligned} \quad (42)$$

$$\hat{\ddot{T}} + \frac{\beta^T T_0^2}{\rho c (\lambda + 2\mu)} \hat{\ddot{u}}_{i,i} = \frac{\kappa^*}{\rho c V^2} \hat{T}_{,ii} \quad (43)$$

$$\frac{\gamma^c V}{\beta L} \hat{\ddot{C}} + \hat{\dot{C}} + \frac{\beta C^2}{\beta (\lambda + 2\mu)} \hat{u}_{i,i} = D_0 \frac{1}{VL} \hat{C}_{,ii} \quad (44)$$

برای ساده‌سازی معادلات (۴۲) تا (۴۴)، پارامترهایی به صورت زیر در نظر گرفته شده است:

$$\left(\frac{\mu}{\lambda + 2\mu}\right) = \hat{\mu} \quad (45)$$

$$\left(\frac{\lambda + \mu}{\lambda + 2\mu}\right) = (\hat{\lambda} + \hat{\mu}) \quad (46)$$

$$\frac{\rho V^2}{\lambda + 2\mu} = \hat{\rho} \quad (47)$$

$$\frac{\beta^T T_0^2}{\rho c (\lambda + 2\mu)} = \epsilon^T \quad (48)$$

$$u^e(x, y, t) = N_h(x, y)a_h^u(t) + \Phi_h(x, y)b_h^u(t) + \Psi_{nm}(x, y)c_{hm}^u(t) \quad (58)$$

$$v^e(x, y, t) = N_h(x, y)a_h^v(t) + \Phi_h(x, y)b_h^v(t) + \Psi_{nm}(x, y)c_{hm}^v(t) \quad (59)$$

$$\theta^e(x, y, t) = N_h(x, y)a_h^T(t) + \Phi_h(x, y)b_h^T(t) + \Psi_{nm}(x, y)c_{hm}^T(t) \quad (60)$$

$$c^e(x, y, t) = N_h(x, y)a_h^z(t) + \Phi_h(x, y)b_h^z(t) + \Psi_{nm}(x, y)c_{hm}^z(t) \quad (61)$$

$$h = 1, \dots, ne, \quad m = 1, \dots, 4$$

با نوشتن فرم ضعیف معادلات حاکم بی بعد شده در نهایت فرم گسسته شده معادلات حرکت (۶۲) و (۶۳)، معادله تعادل جرم (۶۴) و معادله انرژی (۶۵) به صورت زیر بدست می‌آیند:

$$\int_{\Omega^e} [(\hat{\lambda} + 2\hat{\mu})u_{1,11} + (\hat{\lambda} + \hat{\mu})u_{1,22} + \hat{\mu}u_{2,22} - \beta^c C_{,1} - \beta^T T_{,1} - \ddot{u}_1] d\Omega = \int_{\Omega^e} \text{Tr}_x^p N_i d\Omega \quad (62)$$

$$\int_{\Omega^e} [\hat{\mu}u_{1,12} + (\hat{\lambda} + \hat{\mu})u_{2,11} + (\hat{\lambda} + 2\hat{\mu})u_{2,22} - \beta^c C_{,1} - \beta^T T_{,1} - \ddot{u}_2] d\Omega = \int_{\Omega^e} \text{Tr}_y^p N_i d\Omega \quad (63)$$

$$\int_{\Omega^e} (\hat{\tau}_0 \dot{c} + \dot{c} - \hat{D}_0 c_{,ii} + \kappa^c \dot{u}_{i,i}) d\Omega = - \int_{\Omega^e} (q_i n_i) N_i d\Omega \quad (64)$$

$$\int_{\Omega^e} (\ddot{T} + \kappa^T (\ddot{u}_{1,1} + \ddot{u}_{2,2}) - \hat{\kappa}^* (T_{,11} + T_{,22})) d\Omega = - \int_{\Omega^e} (q_i n_i) N_i d\Omega \quad (65)$$

با گسسته‌سازی انتگرال‌های فوق با استفاده از روش المان محدود توسعه یافته و اعمال تقریب‌های میدان‌های جابجایی، دما و غلظت خواهیم داشت:

$$\int_{\Omega^e} [(\hat{\lambda} + 2\hat{\mu})S_{L,x} (N_{n,x} a_n^u + \Phi_{n,x} b_n^u + \Psi_{nm,x} c_{nm}^u) + (\hat{\lambda} + \hat{\mu})S_{L,y} (N_{n,y} a_n^u + \Phi_{n,y} b_n^u + \Psi_{nm,y} c_{nm}^u) + \hat{\mu}S_{L,x} (N_{n,y} a_n^v + \Phi_{n,y} b_n^v + \Psi_{nm,y} c_{nm}^v) - \beta^c S_{L,x} (N_n a_n^c + \Phi_n b_n^c + \Psi_{nm} c_{nm}^c)$$

$$\frac{\kappa^*}{\rho c V^2} = \hat{\kappa}^* \quad (49)$$

$$\frac{\gamma^c V}{\beta L} = \hat{\tau}_0 \quad (50)$$

$$\frac{\beta C^2}{\beta(\lambda + 2\mu)} = \varepsilon^c \quad (51)$$

$$D_0 \frac{1}{V L} = \hat{D}_0 \quad (52)$$

با معرفی و جایگذاری این پارامترها در معادلات (۴۲) تا (۴۴)، این معادلات به صورت زیر در خواهند آمد:

$$\hat{\mu} \hat{u}_{i,jj} + (\hat{\lambda} + \hat{\mu}) \hat{u}_{j,ij} - \hat{C}_{,i} - \hat{T}_{,i} = \hat{\rho} \hat{\ddot{u}}_i \quad (53)$$

$$\hat{T} + \varepsilon^T \hat{\ddot{u}}_{i,i} = \hat{\kappa}^* \hat{T}_{,ii} \quad (54)$$

$$\hat{\tau}_0 \hat{\dot{c}} + \hat{c} + \varepsilon^c \hat{u}_{i,i} = \hat{D}_0 \hat{C}_{,i,i} \quad (55)$$

در معادلات بالا $V = \sqrt{\frac{\lambda+2\mu}{\rho}}$ است.

۶- گسسته‌سازی معادلات انتشار-ترموالاستیسیته

برای گسسته‌سازی معادلات حاکم از روش گلرکین استفاده شده است. یک المان مینا (e) در نظر گرفته می‌شود که تمامی گره‌های آن توسط هر دو تابع غنی‌ساز، غنی‌سازی می‌شوند. این توابع برحسب مختصات محلی قطبی (Φ و r) در نوک ترک عبارتند از [۲۱]:

$$\Phi_h(x, y) = N_h(x, y)[H(Z) - H(Z_h)] \quad (56)$$

$$\Psi_n(x, y) = N_h(x, y) \left[\sqrt{r} \sin\left(\frac{\Phi}{2}\right) - \sqrt{r_n} \sin\left(\frac{\Phi_n}{2}\right), \sqrt{r} \cos\left(\frac{\Phi}{2}\right) - \sqrt{r_n} \cos\left(\frac{\Phi_n}{2}\right), \sqrt{r} \sin(\Phi) \sin\left(\frac{\Phi}{2}\right) - \sqrt{r_n} \sin(\Phi_n) \sin\left(\frac{\Phi_n}{2}\right), \sqrt{r} \sin(\Phi) \cos\left(\frac{\Phi}{2}\right) - \sqrt{r_n} \sin(\Phi_n) \cos\left(\frac{\Phi_n}{2}\right) \right] \quad (57)$$

$H(Z)$ تابع هویساید است که به صورت زیر تعریف می‌شود:

$$H(Z) = \begin{cases} 1, & Z > 0 \\ 0, & Z \leq 0 \end{cases}$$

در اینجا Z تابعی از موقعیت یک نقطه نسبت به مسیر ترک است.

بنابراین مؤلفه‌های جابه‌جایی، دما و غلظت برای المان مبنای e به صورت زیر بیان می‌شوند:

در معادلات بالا $Tr = \sigma \cdot n$ همان بردار تنش است. در نهایت معادلات گسسته‌سازی شده را می‌توان به صورت ماتریسی بیان کرد:

$$[M]\{\ddot{\Delta}\} + [C]\{\dot{\Delta}\} + [K]\{\Delta\} = \{F\} \quad (71)$$

در این رابطه $[M]$ ، $[C]$ و $[K]$ به ترتیب ماتریس‌های جرم، میرایی، و سفتی هستند. $\{\Delta\}$ بردار مجهولات گره‌ای و $\{F\}$ بردار نیروهای گره‌ای است. برای یک المان مبنا (e) ماتریس‌ها و بردارهای بدست آمده در پیوست مقاله ارائه شده‌اند.

۷- مثال‌های عددی

در این بخش برای استخراج نتایج عددی ابتدا دقت و کارایی روش المان محدود توسعه‌یافته بررسی گردیده است. همچنین تاریخچه زمانی ضریب شدت تنش، دمای نوک ترک و غلظت نوک ترک در سه مثال مختلف با شرایط مرزی متفاوت برای یک صفحه دارای ترک مورد تعیین شده‌اند. در این تحقیق برای پیاده‌سازی روش المان محدود توسعه‌یافته و حل معادلات انتشار-ترموالاستیسیته به منظور شبیه‌سازی مسائل مختلف شکست از محیط برنامه‌نویسی نرم‌افزار MATLAB استفاده شده است.

۷-۱- صفحه دارای ترک تحت بارگذاری متقارن

حرارتی - انتشار

ضریب شدت تنش مود اول برای این مسئله، با استفاده از روش انتگرال برهم‌کنش برای یک ناحیه انتگرال‌گیری دایروی به شعاع $r/a = 0.3$ به دست آمده است. برای انتخاب تعداد المان از یک آزمون همگرایی استفاده شده که نتایج آن در شکل ۳ نشان داده شده‌اند. ضریب شدت تنش با استفاده از روش انتگرال برهم‌کنش در چارچوب روش المان محدود توسعه‌یافته محاسبه گردیده است.

یک صفحه همگن به عرض $W=1$ واحد و ارتفاع $H=2$ واحد با یک طول ترک $a=0.3$ واحد در فضای بدون بعد و شامل یک ترک موازی با جهت محور x مطابق با شکل ۲ انتخاب شده است. سرعت موج تنش برابر با یک، سرعت موج دما $1/2$ و سرعت موج غلظت برابر با 0.8 در نظر گرفته شده است. این صفحه، بدون هیچ قید مکانیکی در ابتدا در دمای مرجع یکنواخت (بدون تنش) $T_0 = 293K$ قرار دارد. یک

$$\begin{aligned} & -\beta^T S_{L,x} (N_n a_n^T + \Phi_n b_n^T + \Psi_{nm} c_{nm}^T) \\ & - S_L (N_n a_n^u + \Phi_n b_n^u + \Psi_{nm} c_{nm}^u)] d\Omega \\ & = \int_{\Omega^e} Tr_x^n S_L d\Omega \end{aligned} \quad (66)$$

$$\begin{aligned} & \int_{\Omega^e} [\hat{\mu} S_{L,x} (N_{n,y} a_n^u + \Phi_{n,y} b_n^u + \Psi_{nm,y} c_{nm}^u) \\ & + (\hat{\lambda} + \hat{\mu}) S_{L,x} (N_{n,x} a_n^v + \Phi_{n,x} b_n^v + \Psi_{nm,x} c_{nm}^v) \\ & + (\hat{\lambda} + 2\hat{\mu}) S_{L,y} (N_{n,y} a_n^v + \Phi_{n,y} b_n^v + \Psi_{nm,y} c_{nm}^v) \\ & - \beta^c S_{L,y} (N_n a_n^c + \Phi_n b_n^c + \Psi_{nm} c_{nm}^c) \\ & - \beta^T S_{L,y} (N_n a_n^T + \Phi_n b_n^T + \Psi_{nm} c_{nm}^T) \\ & - S_L (N_n \ddot{a}_n^u + \Phi_n \ddot{b}_n^u + \Psi_{nm} \ddot{c}_{nm}^u)] d\Omega \\ & = \int_{\Omega^e} Tr_y^n S_L d\Omega \end{aligned} \quad (67)$$

$$\begin{aligned} & \int_{\Omega^e} [\hat{t}_0 S_L (N_n \ddot{a}_n^c + \Phi_n \ddot{b}_n^c + \Psi_{nm} \ddot{c}_{nm}^c) \\ & + S_L (N_n \dot{a}_n^c + \Phi_n \dot{b}_n^c + \Psi_{nm} \dot{c}_{nm}^c) \\ & - \hat{D}_0 S_{L,x} (N_{n,x} a_n^c + \Phi_{n,x} b_n^c + \Psi_{nm,x} c_{nm}^c) \\ & + S_{L,y} (N_{n,y} a_n^c + \Phi_{n,y} b_n^c + \Psi_{nm,y} c_{nm}^c) \\ & + \kappa^c S_{L,x} (N_{n,y} a_n^u + \Phi_{n,x} b_n^x + \Psi_{nm,x} c_{nm}^x) \\ & + S_{L,y} (N_{n,y} a_n^v + \Phi_{n,y} b_n^v + \Psi_{nm,y} c_{nm}^v)] d\Omega \\ & = - \int_{\Omega^e} (q_x n_x) S_L d\Omega - \int_{\Omega^e} (q_y n_y) S_L d\Omega \end{aligned} \quad (68)$$

$$\begin{aligned} & \int_{\Omega^e} [S_L (N_n a_n^T + \Phi_n b_n^T + \Psi_{nm} c_{nm}^T) \\ & + \kappa^T S_{L,x} (N_n \ddot{a}_n^u + \Phi_n \ddot{b}_n^u + \Psi_{nm} \ddot{c}_{nm}^u) \\ & + \kappa^T S_{L,y} (N_n \ddot{a}_n^v + \Phi_n \ddot{b}_n^v + \Psi_{nm} \ddot{c}_{nm}^v) \\ & - \hat{\kappa}^* S_{L,x} (N_{n,x} a_n^T + \Phi_{n,x} b_n^T + \Psi_{nm,x} c_{nm}^T) \\ & + \hat{\kappa}^* S_{L,y} (N_{n,y} a_n^T + \Phi_{n,y} b_n^T + \Psi_{nm,y} c_{nm}^T)] d\Omega \\ & = - \int_{\Omega^e} (q_x n_x) S_L d\Omega - \int_{\Omega^e} (q_y n_y) S_L d\Omega \end{aligned} \quad (69)$$

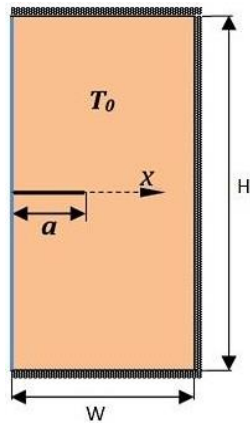
که در این رابطه توابع وزنی $(S_L(x,y))$ همان توابع شکل المان محدود توسعه یافته هستند یعنی،

$$S_L = \{N_1, N_2, N_3, N_4, \Phi_1, \Phi_2, \Phi_3, \Phi_4, \Psi_{1m}, \Psi_{2m}, \Psi_{3m}, \Psi_{4m}\} \quad m=1, \dots, 4 \quad (70)$$

برای صحت سنجی از عبارت جفت کننده معادلات دما، غلظت و جابجایی صرف نظر شده است؛ در نتیجه این معادلات را می توان به صورت زیر بیان کرد:

$$\ddot{T} - \hat{K} * \hat{T}_{,ii} = 0 \quad (72)$$

$$\hat{t}_0 \hat{C} + \hat{C} - \hat{D}_0 \hat{C}_{,i} = 0 \quad (73)$$



شکل ۲- صفحه مستطیلی شامل ترک عمود بر لبه تحت شوک حرارتی و انتشار

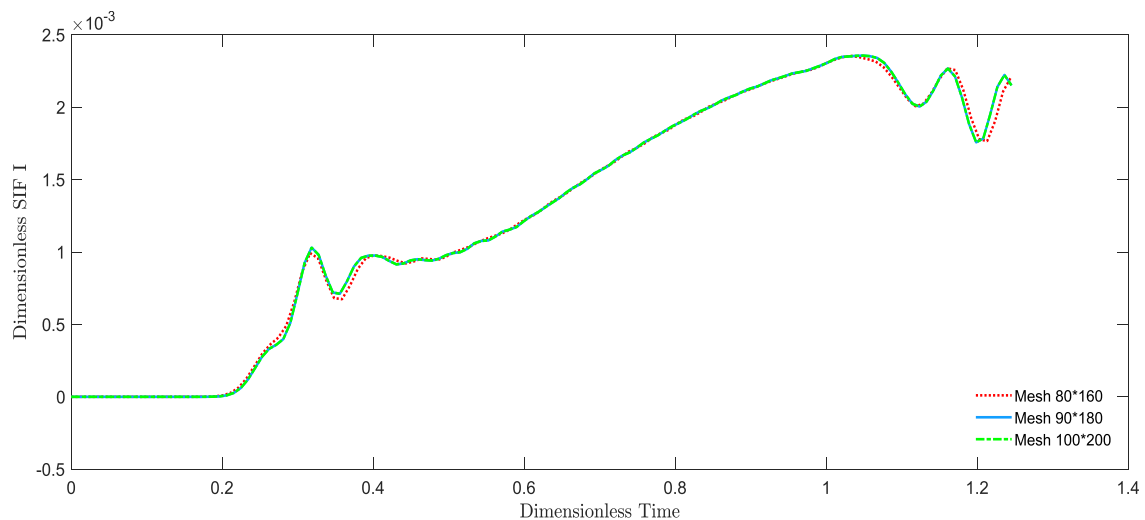
تغییر دمای ناگهانی در لبه ترک خورده باریکه، به عنوان بارگذاری حرارتی و انتشار اعمال شده است. شرایط بارگذاری این گونه است که وجه سمت چپ تحت تأثیر یک شوک حرارتی به مقدار $-0/001$ بی بعد و شوک غلظتی به مقدار $-0/005$ بی بعد قرار دارد.

در تحلیل المان محدود از شبکه مش بندی های منظم با المان های مستطیلی چهار گره ای استفاده گردیده و همچنین گام زمانی $d=0/03$ در نظر گرفته شده است، جنس صفحه مس بوده که خواص آن در جدول ۱ ارائه شده است. شعاع انتگرال گیری برای انتگرال ناحیه ای معادل $r/a=0/3$ انتخاب شده است.

منحنی ضریب شدت تنش بر حسب زمان برای سه شبکه متشکل از 160×80 ، 180×90 و 200×100 المان در شکل ۳ ارائه شده است. بر طبق نتایج به دست آمده که در شکل ۳ مشاهده می شود با ریزتر شدن مش نتایج همگرا می شوند. همانطور که مشاهده می شود، نتایج به دست آمده تقریباً یکسان است.

جدول ۱- خواص ماده تشکیل دهنده صفحه (مس) [۱۲]

ظرفیت گرمایی ویژه (J/kg-K)	چگالی (kg/m^3)	هدایت گرمایی (W/m-K)	ضریب انبساط گرمایی ($10^{-6}/K$)	نسبت پواسون	مدول یانگ (GPa)
۳۸۳/۱	۸۹۵۴	۳۸۶	۸/۵	۰/۳	۷۰



شکل ۳- نمودار ضریب شدت تنش برای مش بندی های مختلف در صفحه

نیومارک وارد شده است. موج تنش به همراه موج غلظت در زمان $t=0/3$ به نوک ترک می‌رسد و موجب کاهش دوباره دما در نوک ترک می‌شود. تطابق منحنی‌ها با تعداد المان‌های مختلف، نشانگر این است که نتایج به دست آمده مستقل از تعداد المان است. با رسیدن موج دما به نوک ترک در زمان بی‌بعد $t=0/25$ دمای نوک ترک کاهش پیدا کرده است.

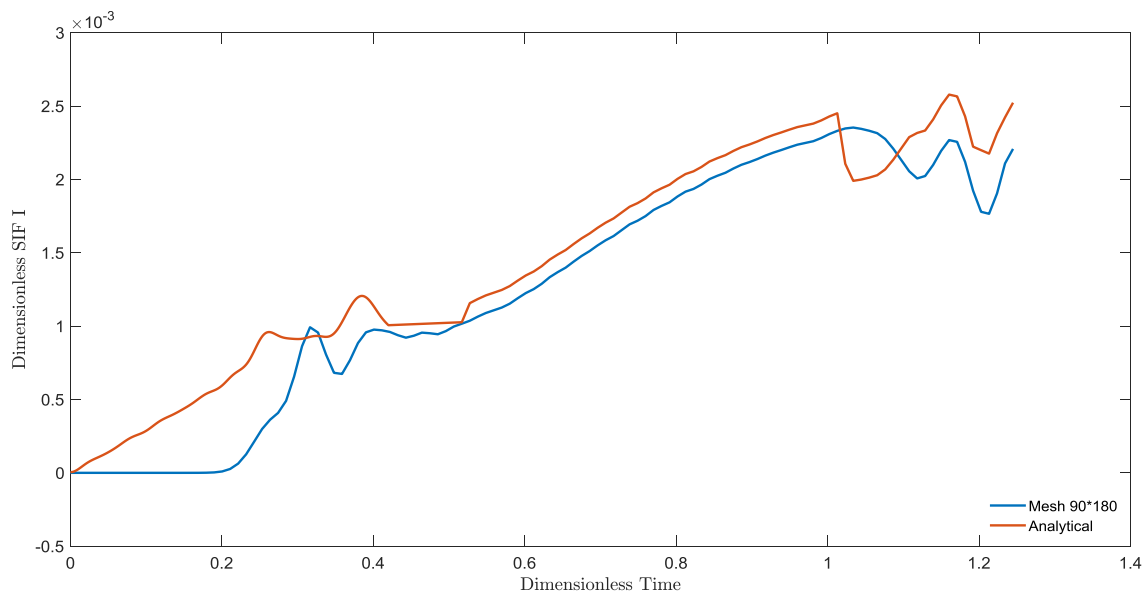
رسیدن موج غلظت در زمان $t=0/3$ باعث افزایش دمای نوک ترک می‌شود. رسیدن موج تنش به نوک ترک در زمان $t=0/375$ باعث کاهش دمای نوک ترک شده و دما با نوسان جزئی در همین مقدار باقی می‌ماند تا اینکه امواج از لبه سمت راست دوباره به نوک ترک برسند.

منحنی‌های تغییرات زمانی انتشار در نوک ترک برای شبکه بندی‌های مختلف در شکل ۶ نشان داده شده است. موج دما در $t=0/25$ در فضای بی‌بعد به نوک ترک می‌رسد که این امر موجب افت شدید غلظت در نوک ترک می‌شود. نوسانات اضافی در منحنی تغییرات انتشار به علت استفاده از روش ضمنی نیومارک وارد شده است. موج غلظت در زمان $t=0/3$ به نوک ترک می‌رسد و موجب کاهش دوباره غلظت در نوک ترک می‌شود. با رسیدن موج تنش به نوک ترک در زمان بی‌بعد $t=0/375$ غلظت در نوک ترک کاهش یافته است.

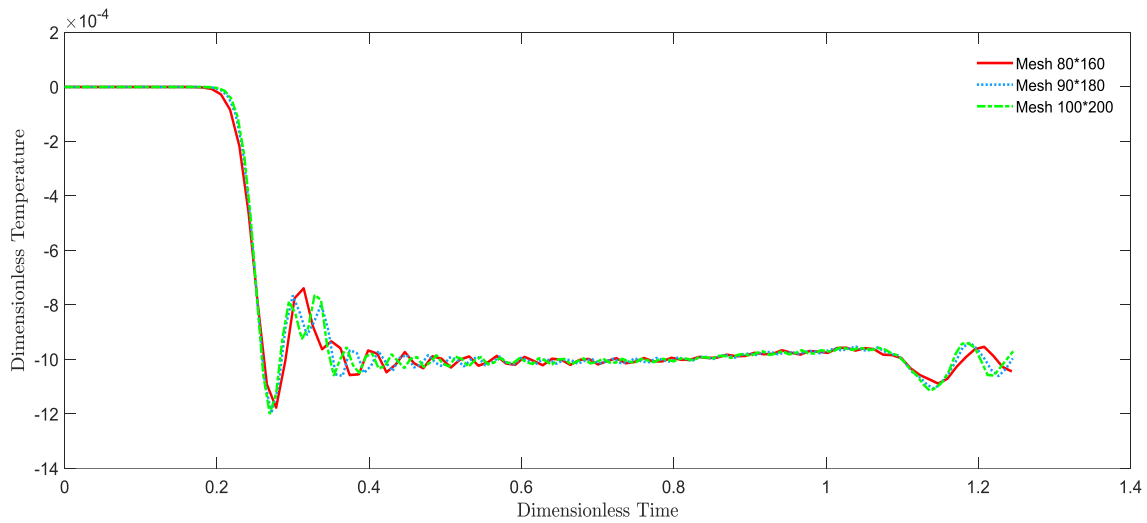
معادلات را به صورت تحلیلی با استفاده از روش جداسازی متغیرها حل کرده تا دما و غلظت بر حسب x و t به دست آید (مسئله یک بعدی است)، سپس تنش را به دست آورده و با استفاده از روش تابع وزنی ضریب شدت تنش مود اول همان‌طور که در شکل ۴ مشاهده می‌شود، با استفاده از نرم افزار MAPLE بدست آمده و با ضریب شدت تنش حاصل از روش عددی مقایسه است.

با توجه به سرعت‌های اعمالی زمان رسیدن موج تنش به نوک ترک همان‌طور که در شکل ۴ مشاهده می‌شود، در زمان $t=0/375$ ، زمان رسیدن موج غلظت به نوک ترک $t=0/3$ و زمان رسیدن موج دما به نوک ترک $t=0/25$ است. بعد از رد شدن موج تنش، دما و غلظت از نوک ترک همان‌طور که در شکل نیز مشاهده می‌شود، ضریب شدت تنش روند افزایشی پیدا می‌کند تا اینکه امواج ذکر شده کل صفحه را پیموده و پس از برخورد به دیواره سمت راست صفحه منعکس شده و دوباره به نوک ترک می‌رسند که می‌توان در نمودار به وضوح این پدیده را مشاهده کرد.

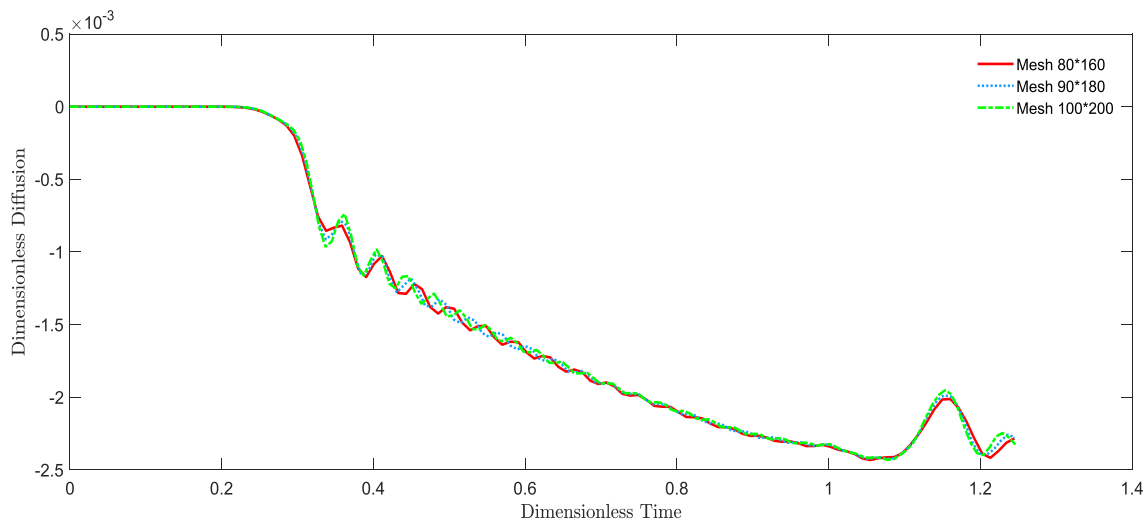
منحنی‌های تغییرات زمانی دما در نوک ترک برای شبکه بندی‌های مختلف در شکل ۵ نشان داده شده است. موج دما در $t=0/25$ در فضای بی‌بعد به نوک ترک می‌رسد که این امر موجب افت شدید دما در نوک ترک می‌شود. نوسانات اضافی در منحنی تغییرات دما به علت استفاده از روش ضمنی



شکل ۴- مقایسه ضریب شدت تنش در صفحه مستطیلی شامل ترک عمود بر لبه حاصل از روش عددی و تحلیلی



شکل ۵- دمای نوک ترک در مش بندی‌های مختلف برحسب زمان



شکل ۶- انتشار در نوک ترک برای مش بندی‌های مختلف برحسب زمان

مود اول شروع به افزایش می‌کند. نوسانات اضافی در نمودار تغییرات ضریب شدت تنش مود اول به دلیل استفاده از روش ضمنی نیومارک رخ داده است. با رسیدن موج غلظت در زمان $t=0/3$ به نوک ترک، ضریب شدت تنش مود اول افزایش پیدا کرده و در زمان $t=0/375$ با تأثیرات موج تنش ضریب شدت تنش مود اول دوباره افزایش پیدا کرده و به حالت نوسانات پیوسته به افزایش خود تا انتهای مسیر ادامه می‌دهد. این نوسانات افزایش ضریب شدت تنش تا رسیدن بازتاب موج تنش، غلظت و دما به نوک ادامه پیدا می‌کند.

تأثیر گام زمانی بر ضریب شدت تنش مود اول برای گام‌های زمانی $0/001$ و $0/003$ در شکل ۷ بررسی شده است. برای مدل‌سازی هندسه صفحه از شبکه‌ای متشکل از 80×160 المان استفاده شده و شعاع ناحیه انتگرال‌گیری برای انتگرال ناحیه‌ای معادل $r/a=0/3$ انتخاب شده است. نتایج به‌دست‌آمده تقریباً یکسان هستند.

با توجه به سرعت‌های بی‌بعد اعمالی، سرعت موج تنش یک ($C_p = 1$)، سرعت موج دما $1/2$ ($C_T = 1/2$) و سرعت موج غلظت $0/8$ ($C_C = 0/8$) در نظر گرفته شده است. با رسیدن موج دما در زمان $t=0/25$ به نوک ترک، ضریب شدت تنش

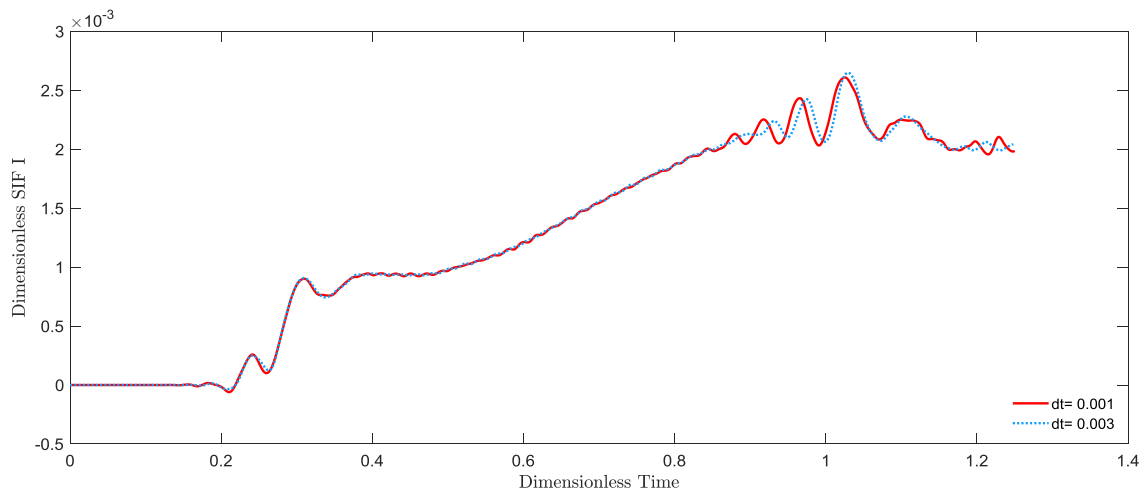
گرفته شده‌اند. سه شعاع نسبی (t/a) با مقادیر ۰/۱ ، ۰/۲ و ۰/۳ انتخاب شده‌اند.

۷-۲- صفحه دارای ترک تحت بارگذاری نامتقارن حرارتی - انتشار

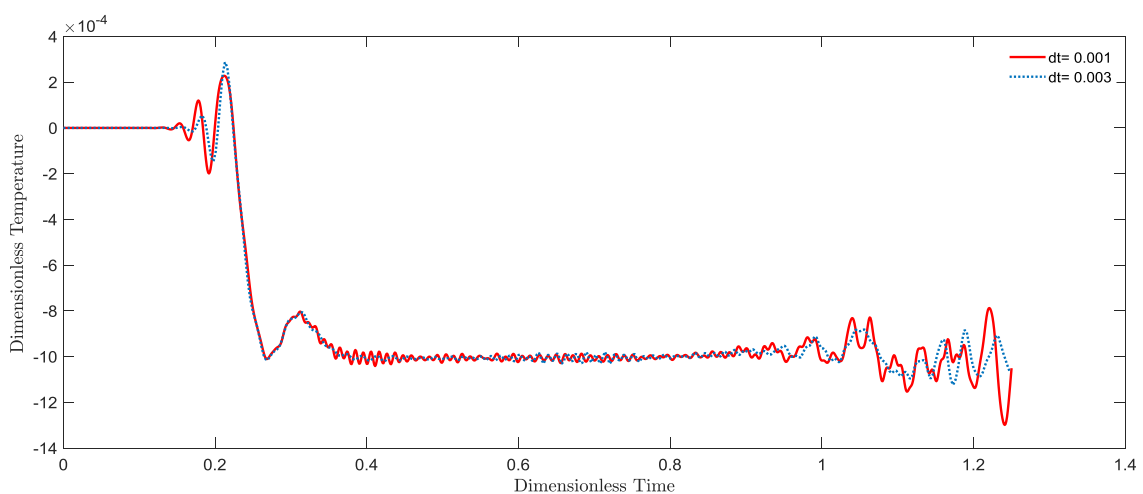
در مثال قبیل به علت بارگذاری متقارن نسبت به ترک، تنها ضریب شدت تنش مود اول استخراج گردید. در این مثال به علت بارگذاری نامتقارن نسبت به ترک، هر دو ضریب شدت تنش مود اول و دوم وجود خواهد داشت که با استفاده از روش انتگرال برهمکنش در چارچوب روش المان محدود

تغییرات دمای نوک ترک و تغییرات انتشار در نوک ترک برحسب زمان برای گام‌های زمانی ۰/۰۰۱ و ۰/۰۰۳ به ترتیب در شکل‌های ۸ و ۹ نشان داده شده‌اند. مشاهده می‌شود، نتایج بدست آمده برای گام‌های زمانی انتخاب شده تقریباً یکسان هستند.

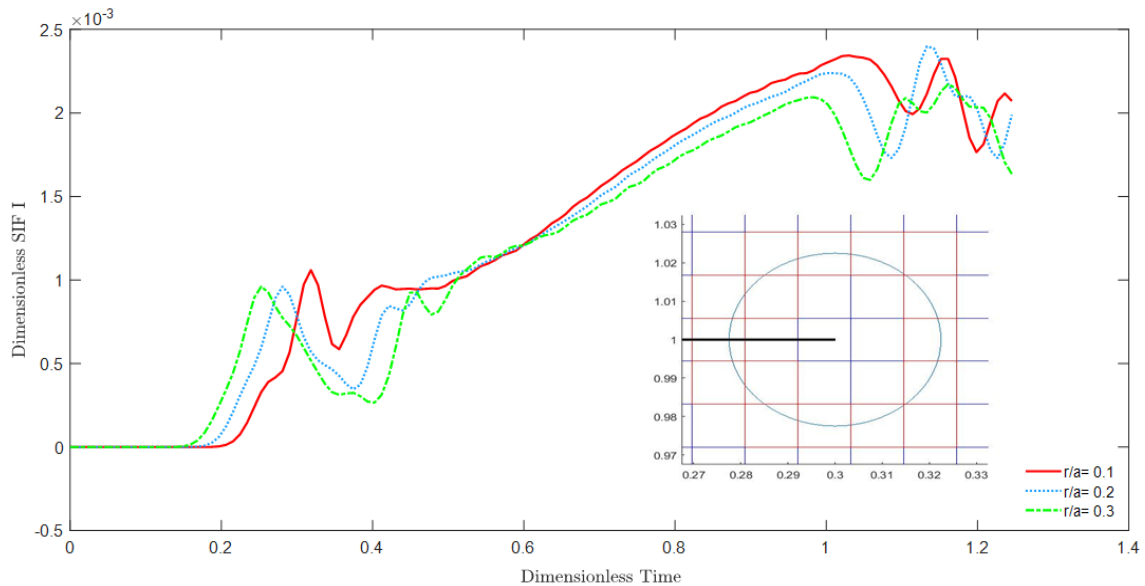
همان‌طور که در شکل ۹ نشان داده شده است، به‌منظور بررسی اثر اندازه ناحیه انتگرال‌گیری در مقادیر ضریب شدت تنش، این مثال با سه ناحیه انتگرال‌گیری با مساحت‌های متفاوت تحلیل شده است. المان‌هایی که توسط یک دایره به مرکز نوک ترک و شعاع‌های نسبی مختلف (با توجه به طول ترک) محصور شده‌اند، به‌عنوان ناحیه انتگرال‌گیری در نظر



شکل ۷- تأثیر گام زمانی بر ضریب شدت تنش مود اول



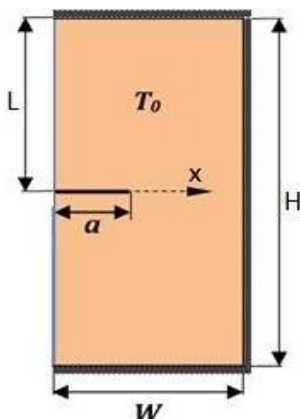
شکل ۸- دمای نوک ترک در صفحه دارای ترک برحسب زمان برای گام‌های زمانی مختلف



شکل ۹- تغییرات ضریب شدت تنش برحسب زمان برای ناحیه‌های انتگرال‌گیری متفاوت در نوک ترک

هم نشان داده شده است، در زمان 0.375 ، زمان رسیدن موج غلظت به نوک ترک 0.3 و زمان رسیدن موج دما به نوک ترک 0.25 است.

بعد از عبور موج‌های تنش، دما و غلظت از نوک ترک همان‌طور که در شکل نیز مشاهده می‌شود، ضریب شدت تنش روند افزایشی پیدا می‌کند تا اینکه موج‌ها کل صفحه را پیموده و پس از برخورد به لبه سمت راست منعکس شده و دوباره به نوک ترک می‌رسند که می‌توان در نمودار زیر نیز به‌وضوح این پدیده را مشاهده کرد.



شکل ۱۰- صفحه مستطیلی شامل ترک عمود بر لبه تحت شوک حرارتی و انتشار ...

توسعه یافته محاسبه می‌شوند. صفحه به‌صورت محدود و همگن است و بدون هیچ قید مکانیکی در ابتدا در دمای مرجع یکنواخت (بدون تنش) $T_0 = 293K$ قرار دارد. نیمه پایینی وجه چپ این صفحه تحت تأثیر یک شوک حرارتی به مقدار -0.01 بی‌بعد و شوک غلظتی به مقدار -0.05 بی‌بعد قرار دارد. ابعاد صفحه و طول ترک همانند مثال قبل در نظر گرفته شده‌اند که در شکل ۱۰ هم نشان داده شده است.

در تحلیل المان محدود از شبکه بندی‌های منظم با المان‌های مستطیلی چهار گره‌ای استفاده گردیده و همچنین گام زمانی $d=0.03$ در نظر گرفته شده است. برای مدل‌سازی هندسه نیم‌صفحه از دو شبکه بندی متشکل از 160×80 و 180×90 المان استفاده شده است، نتایج به‌دست آمده تقریباً یکسان است.

شعاع نسبی ناحیه انتگرال‌گیری برای انتگرال ناحیه‌ای معادل $r/a=0.3$ قرار داده شده است. با توجه به سرعت‌های بی‌بعد اعمالی، سرعت موج تنش یک ($C_p=1$)، سرعت موج دما $1/2$ ($C_T=1/2$) و سرعت موج غلظت 0.8 ($C_C=0.8$) در نظر گرفته شده است.

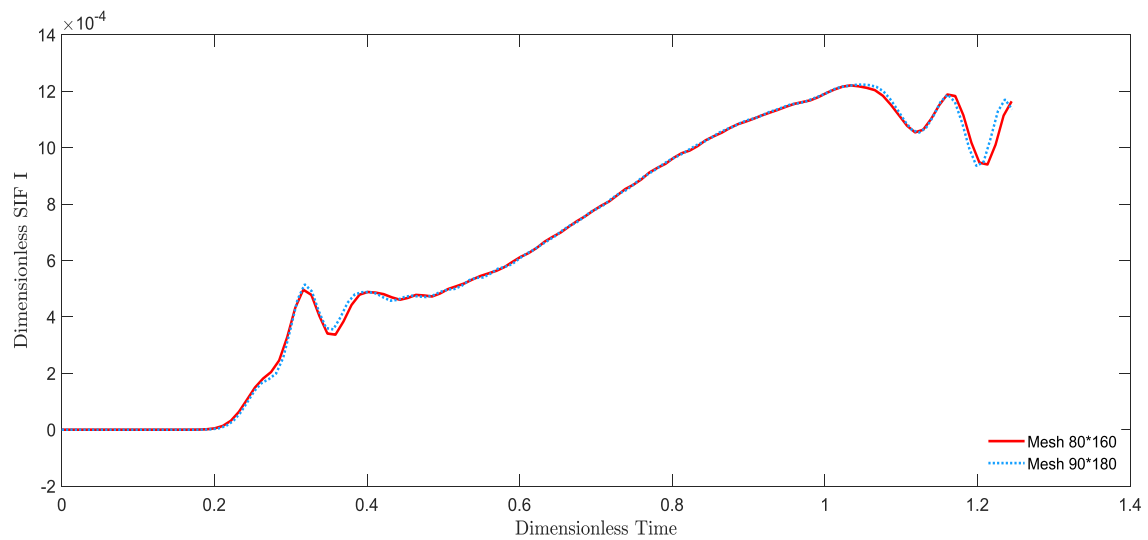
منحنی‌های تغییرات زمانی ضریب شدت تنش مود اول در شکل ۱۱ ارائه شده‌اند. با توجه به سرعت‌های اعمالی زمان رسیدن موج تنش به نوک ترک، همان‌طور که در شکل ۱۱

تنش و دما به نوک ادامه پیدا می‌کند. با رسیدن موج تنش و دما ضریب شدت تنش شروع به کاهش کرده و سپس افزایش می‌یابد و بعد از عبور موج‌ها دوباره به نوسانات پایدار خود می‌رسد.

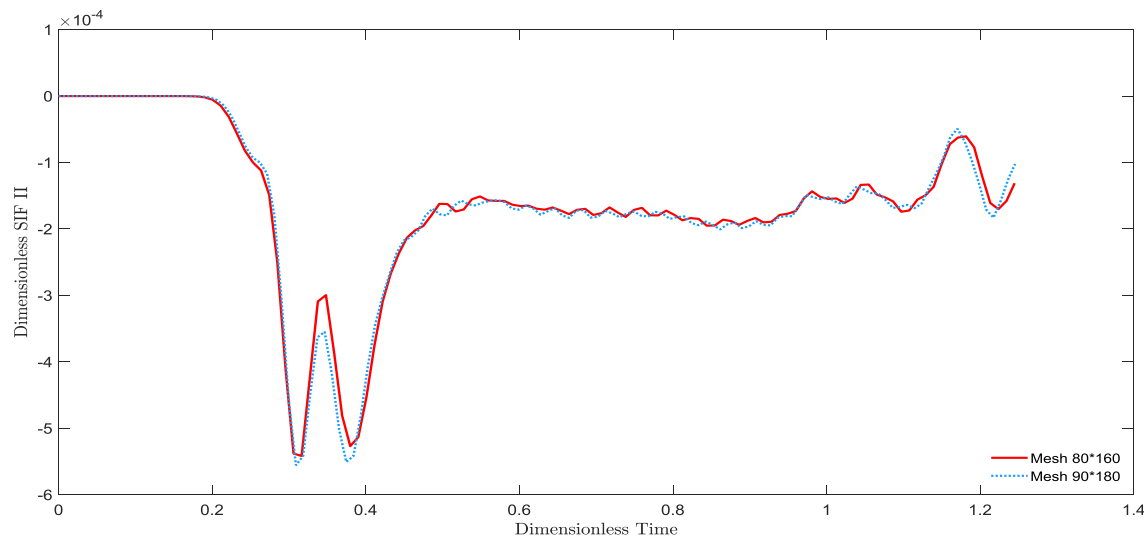
منحنی‌های تغییرات زمانی دما در نوک ترک برای شبکه‌بندی‌های متفاوت در شکل ۱۳ نشان داده شده است. با رسیدن موج دما به نوک ترک در زمان $t=0/25$ دمای نوک ترک به‌طور ناگهانی کاهش یافته است و ممکن است، از مقدار شوک دمایی اعمالی نیز تجاوز کند.

تغییرات زمانی ضریب شدت تنش مود دوم در شکل ۱۲ بررسی شده است.

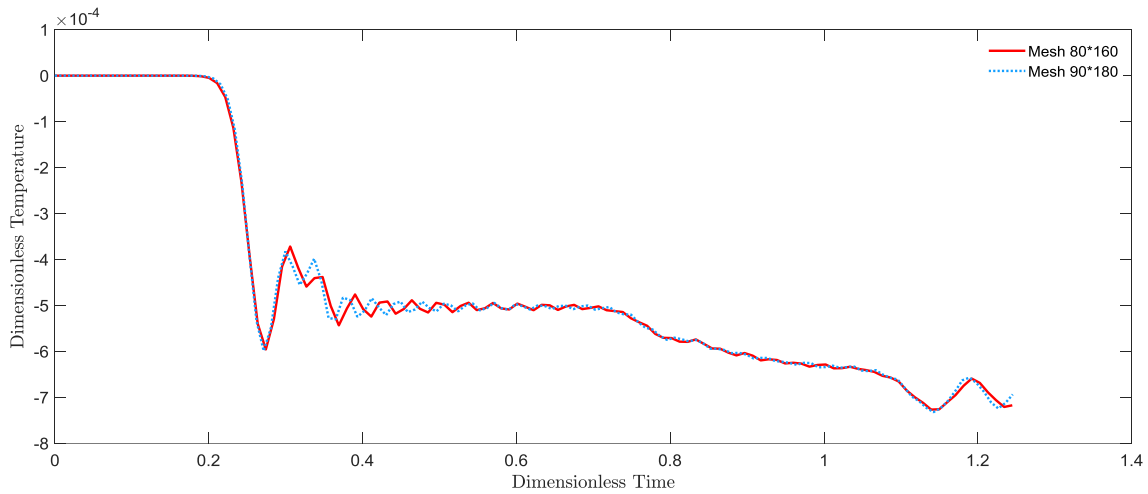
با رسیدن موج غلظت در زمان $t=0/2$ به نوک ترک، با کاهش دما و افزایش غلظت ضریب شدت تنش مود دوم شروع به کاهش می‌کند. با رسیدن موج تنش در زمان $t=0/3$ ضریب شدت تنش مود دوم افزایش یافته تا با رسیدن موج غلظت در زمان $t=0/35$ مجدد کاهش پیدا کرده و در زمان $t=0/4$ با تأثیرات موج تنش دوباره افزایش یافته و در مقدار حدود $1/5$ نوسان می‌کند. این نوسانات تا رسیدن بازتاب موج



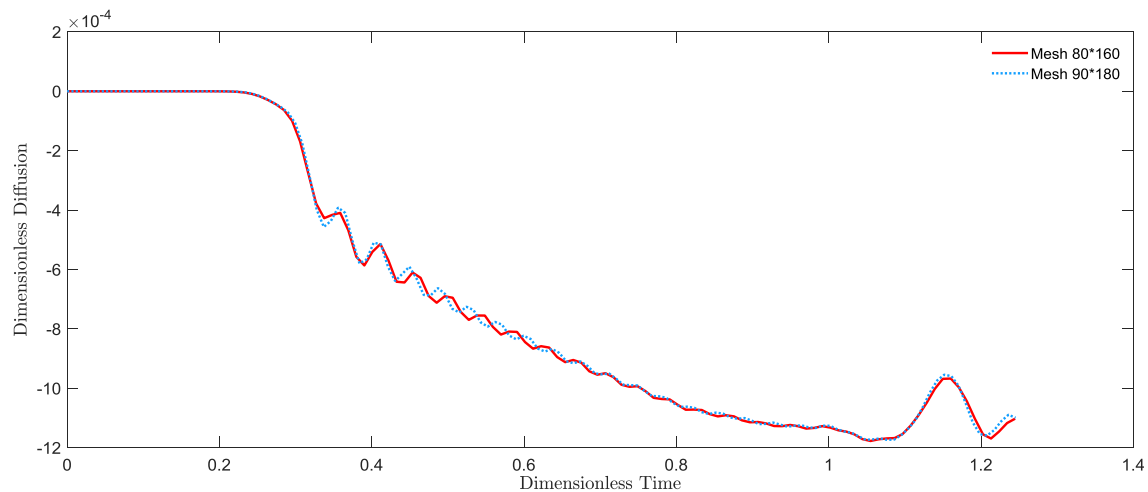
شکل ۱۱- نمودار ضریب شدت تنش مود اول بر حسب زمان برای شبکه‌بندی‌های مختلف



شکل ۱۲- منحنی‌های ضریب شدت تنش مود دوم بر حسب زمان برای شبکه‌بندی‌های مختلف



شکل ۱۳- دمای نوک ترک بر حسب زمان برای شبکه‌بندی‌های مختلف



شکل ۱۴- انتشار نوک ترک بر حسب زمان برای شبکه‌بندی‌های مختلف

موج تنش در زمان $t=0/375$ به نوک ترک رسیده و با تأثیرات آن غلظت نوک ترک دوباره کاهش پیدا کرده و با کاهش تا انتهای باحالت نوسانات پیوسته خود ادامه می‌دهد. این نوسانات تا رسیدن بازتاب موج تنش، غلظت و دما به نوک ادامه پیدا می‌کند.

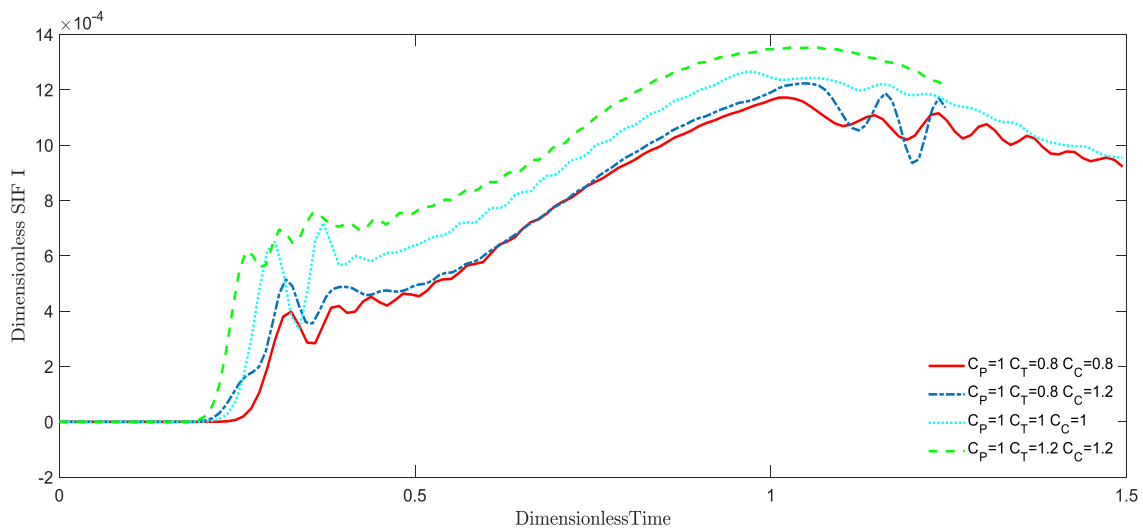
منحنی‌های ضریب شدت تنش مود اول برای سرعت‌های مختلف امواج در شکل ۱۵ نشان داده شده است. مشاهده می‌شود، برای حالتی که سرعت موج تنش و سرعت موج دما یکسان و بیشتر از سرعت موج غلظت است، افزایش ضریب شدت تنش سریع‌تر و بیشتر از حالت‌های دیگر است.

با رسیدن موج غلظت در زمان $t=0/3$ دما در نوک ترک افزایش یافته تا اینکه موج تنش در زمان $t=0/375$ به نوک ترک می‌رسد و با تأثیرات موج تنش دمای نوک ترک کاهش پیدا کرده و به حالت نوسانات پیوسته به کاهش تدریجی خود ادامه می‌دهد. این نوسانات تا رسیدن بازتاب موج تنش، غلظت و دما به نوک ادامه پیدا می‌کند.

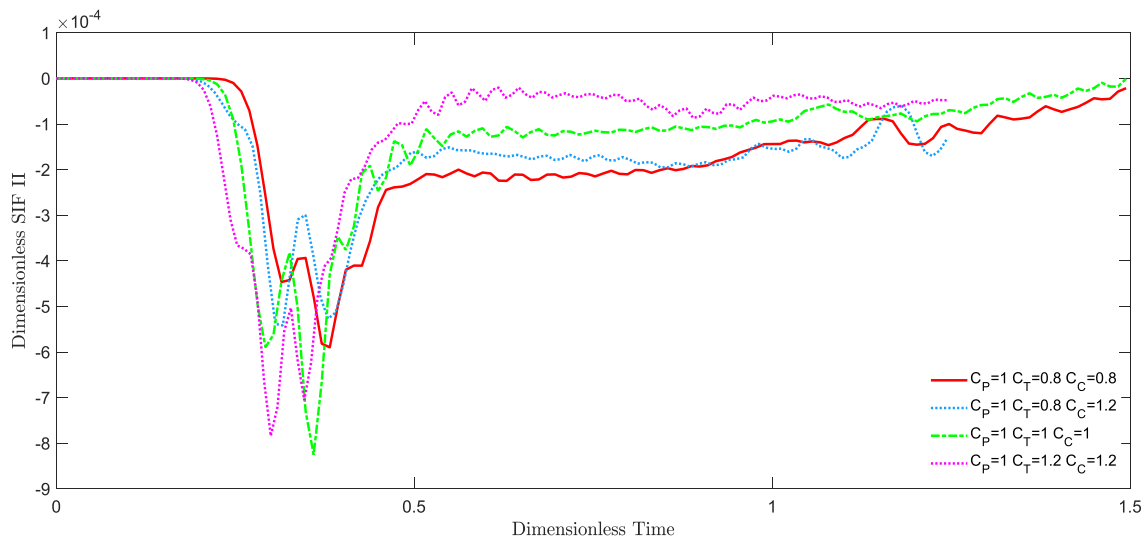
منحنی‌های تغییرات زمانی انتشار در نوک ترک برای شبکه‌بندی‌های مختلف در شکل ۱۴ نشان داده شده است. با رسیدن موج دما به نوک ترک در زمان $t=0/25$ غلظت نوک ترک به‌طور ناگهانی کاهش پیدا می‌کند. با رسیدن موج غلظت در زمان $t=0/3$ غلظت نوک ترک کاهش یافته تا اینکه

و سرعت موج غلظت یکسان و بیشتر از سرعت موج دما است، کاهش دما سریع‌تر و بیشتر از حالت‌های دیگر است. منحنی‌های تغییرات غلظت نوک ترک بر حسب زمان برای سرعت‌های مختلف امواج در شکل ۱۸ نشان داده شده است. نتیجه‌ای که از سرعت‌های مختلف می‌توان گرفت، این است که برای حالتی که سرعت موج تنش و سرعت موج دما یکسان و بیشتر از سرعت موج غلظت است. کاهش انتشار سریع‌تر و بیشتر از حالت‌های دیگر خواهد بود.

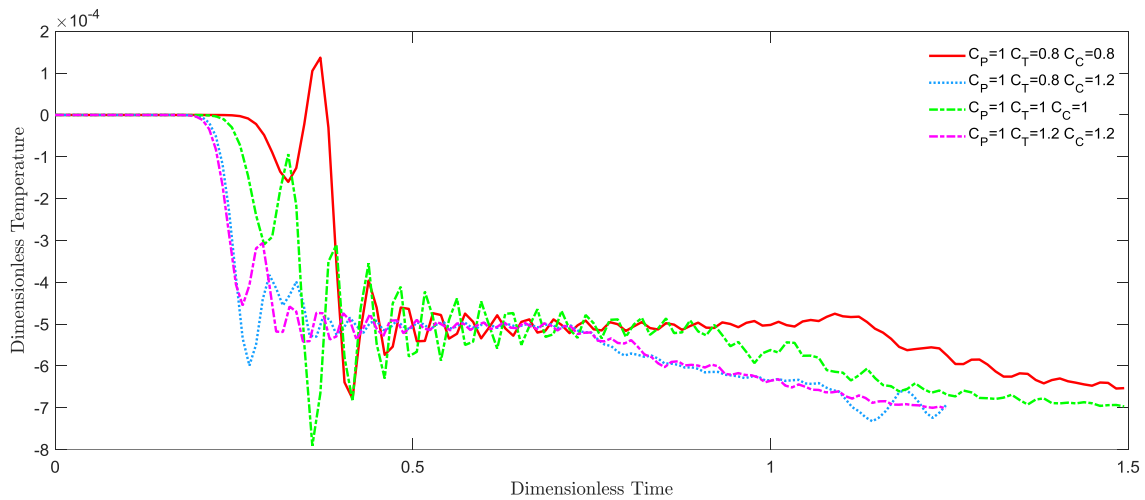
تاریخچه زمانی ضرایب شدت تنش مود دوم به دست آمده در سرعت‌های مختلف در شکل ۱۶ نشان داده شده است. می‌توان گفت، برای حالتی که سرعت موج تنش و سرعت موج دما یکسان و بیشتر از سرعت موج غلظت است افزایش ضریب شدت تنش مود دوم در ابتدا کاهش و با رسیدن موج تنش ضریب شدت تنش مود دوم افزایش می‌یابد. تغییرات دمای نوک ترک بر حسب زمان برای سرعت‌های مختلف موج‌های تنش، دما و غلظت در شکل ۱۷ نشان داده شده است. مشاهده می‌شود برای حالتی که سرعت موج تنش



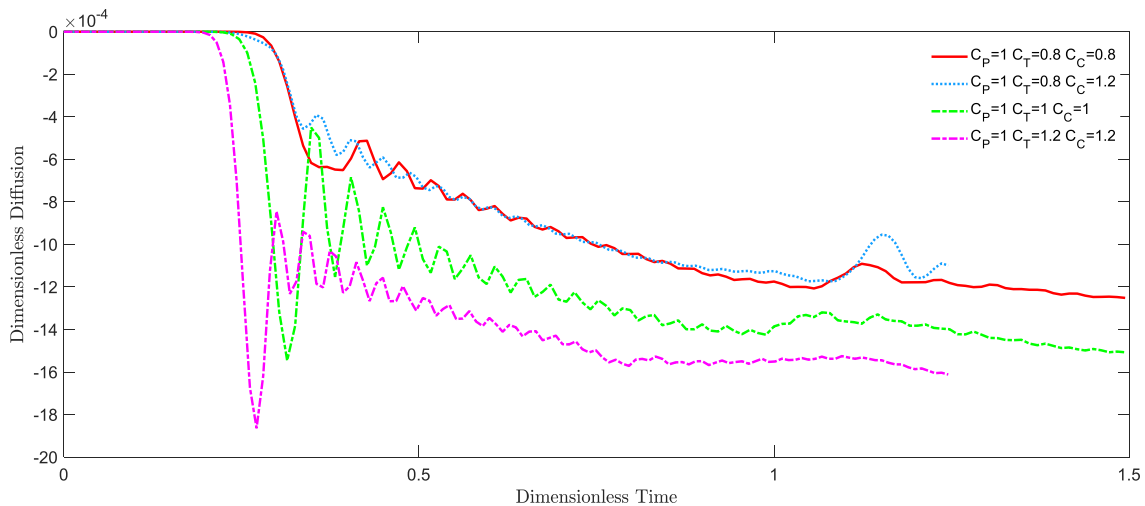
شکل ۱۵- ضریب شدت تنش مود اول بر حسب زمان برای سرعت‌های مختلف انتشار و دما



شکل ۱۶- ضریب شدت تنش مود دوم بر حسب زمان برای سرعت‌های مختلف انتشار و دما



شکل ۱۷- دمای نوک ترک بر حسب زمان برای سرعت‌های مختلف دما و انتشار



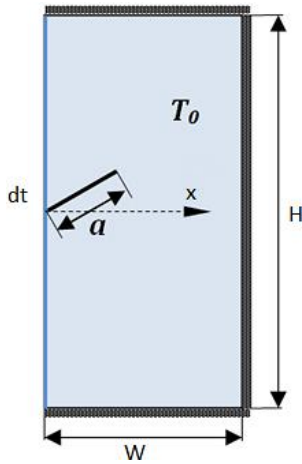
شکل ۱۸- انتشار در نوک ترک بر حسب زمان برای سرعت‌های مختلف موج های دما و انتشار

همگن است و بدون هیچ قید مکانیکی در ابتدا در دمای مرجع یکنواخت (بدون تنش) $T_0 = 293K$ قرار دارد. نیمه وجه چپ این صفحه تحت تأثیر یک شوک حرارتی به مقدار 0.01 بی بعد و شوک غلظتی به مقدار 0.05 بی بعد قرار دارد. شعاع نسبی ناحیه انتگرال گیری برای انتگرال ناحیه‌ای معادل $t/a=0.3$ قرار داده شده است.

در تحلیل المان محدود از شبکه مش بندی‌های منظم با المان‌های مستطیلی چهار گره‌ای استفاده گردیده و همچنین گام زمانی $\Delta t=0.03$ در نظر گرفته شده است، مطابق نتایج به دست آمده که در شکل ۲۰ هم مشاهده می‌شود با ریزتر شدن مش نتایج همگرا می‌شوند. برای

۷-۳- ترک مایل در معرض شوک دمایی و انتشار

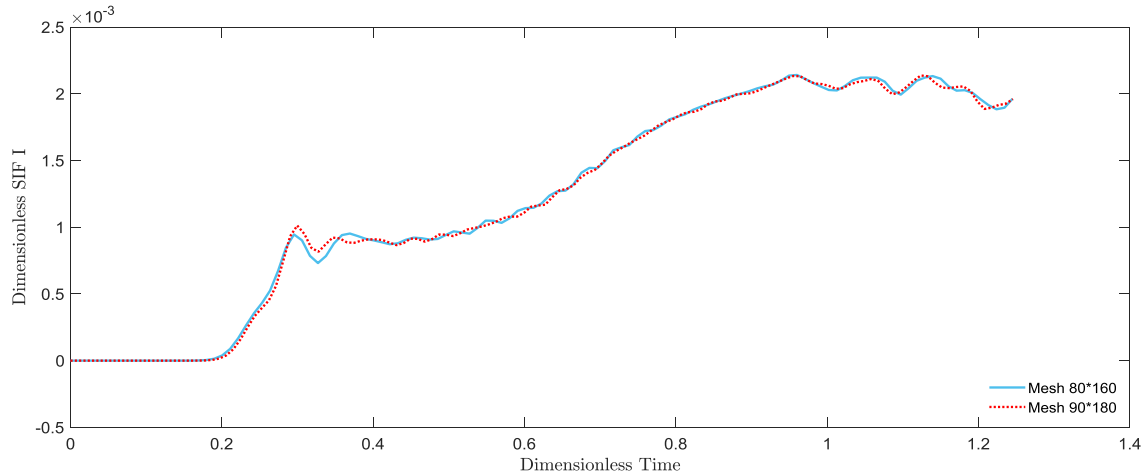
در این مثال مطابق شکل ۱۹ یک صفحه دارای ترک مایل در معرض شوک دمایی و انتشار با ویژگی‌های هندسی و خواص مکانیکی مثال اول در نظر گرفته شده است. این صفحه حاوی یک ترک لبه‌ای مایل با زاویه 20 درجه نسبت به محور x و طول $a=0.3$ در فضای بی بعد است. در این مثال به علت بارگذاری نامتقارن نسبت به ترک، ضریب شدت تنش مود اول و دوم خواهیم داشت که با استفاده از روش انتگرال برهمکنش در چارچوب روش المان محدود توسعه یافته محاسبه گردیده‌اند. صفحه به صورت محدود و



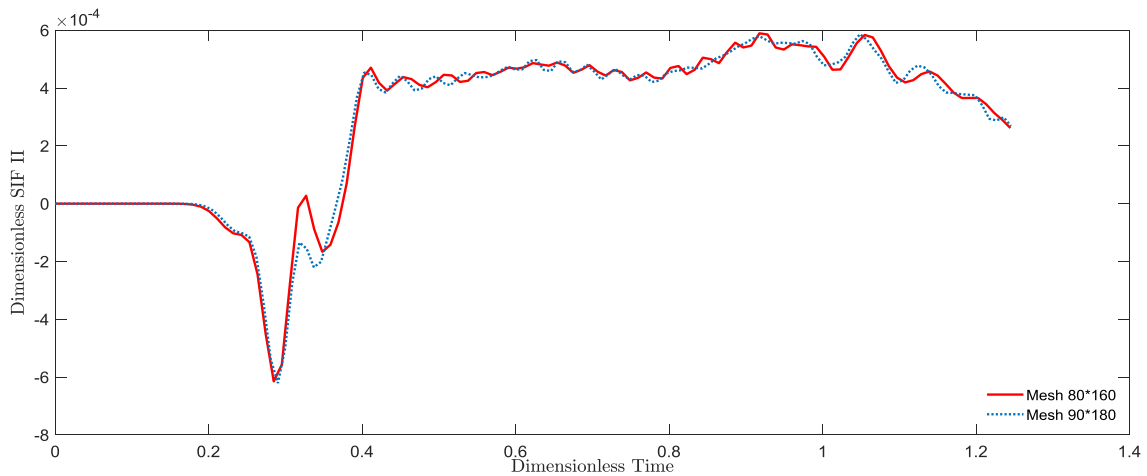
شکل ۱۹- هندسه و بارگذاری یک صفحه دارای ترک لبه‌ای مایل تحت بارگذاری دما و انتشار

مدل‌سازی هندسه صفحه از دو شبکه‌بندی متفاوت متشکل از ۱۶۰×۸۰ و ۱۸۰×۹۰ المان استفاده شده است، نتایج به‌دست‌آمده تقریباً یکسان است.

با توجه به سرعت‌های اعمالی زمان رسیدن موج دما به نوک ترک همان‌طور که در شکل ۲۰ هم نشان داده شده است، در زمان $t=0/۲۵$ است که باعث افزایش ضریب شدت تنش شده است. رسیدن موج غلظت به نوک ترک در زمان $t=0/۳$ باعث کاهش ضریب شدت تنش شده و رسیدن موج تنش به نوک ترک در زمان $t=0/۳۷۵$ ضریب شدت تنش را افزایش داده و تا زمان ۱ بتدریج با نوسانات و افزایش ادامه پیدا کرده است.



شکل ۲۰- همگرایی ضریب شدت تنش مود اول برحسب زمان برای شبکه‌بندی‌های مختلف در ترک مایل



شکل ۲۱- همگرایی ضریب شدت تنش مود دوم در مش بندی‌های مختلف در ترک مایل

رسیدن بازتاب موج تنش، غلظت و دما به نوک ادامه پیدا می‌کند.

منحنی‌های تغییرات زمانی غلظت در نوک ترک برای مقادیر مختلف زمان در شکل ۲۳ نشان داده شده است. با رسیدن موج دما به نوک ترک در زمان $t=0/25$ غلظت نوک ترک به‌طور ناگهانی کاهش یافته و ممکن است، از مقدار شوک دمایی اعمالی نیز تجاوز کند. با رسیدن موج غلظت در زمان $t=0/3$ غلظت نوک ترک کاهش یافته تا موج تنش در زمان $t=0/375$ به نوک ترک رسیده با تأثیرات موج تنش غلظت نوک ترک دوباره کاهش پیدا کرده و با کاهش تا انتهای صفحه با حالت نوسانات پیوسته خود ادامه می‌دهد. این نوسانات تا رسیدن بازتاب موج تنش، غلظت و دما به نوک ادامه پیدا می‌کند.

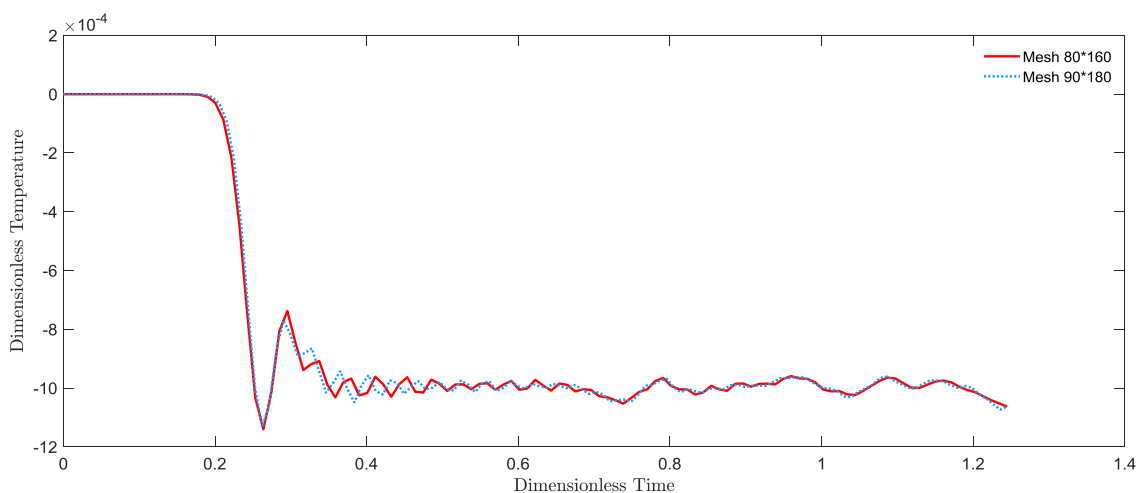
۸- نتیجه‌گیری

در این مقاله، ضرایب شدت تنش برای یک صفحه دارای ترک ساکن در معرض شوک دمایی و غلظت براساس تئوری گرین نقدی و غیرفیک محاسبه شده است. ترک با استفاده از روش المان محدود توسعه یافته مدل‌سازی شده که برای گسسته سازی معادلات در فضا و روش ضمنی نیومارک جهت انتگرال‌گیری زمانی مورد استفاده قرار گرفته است.

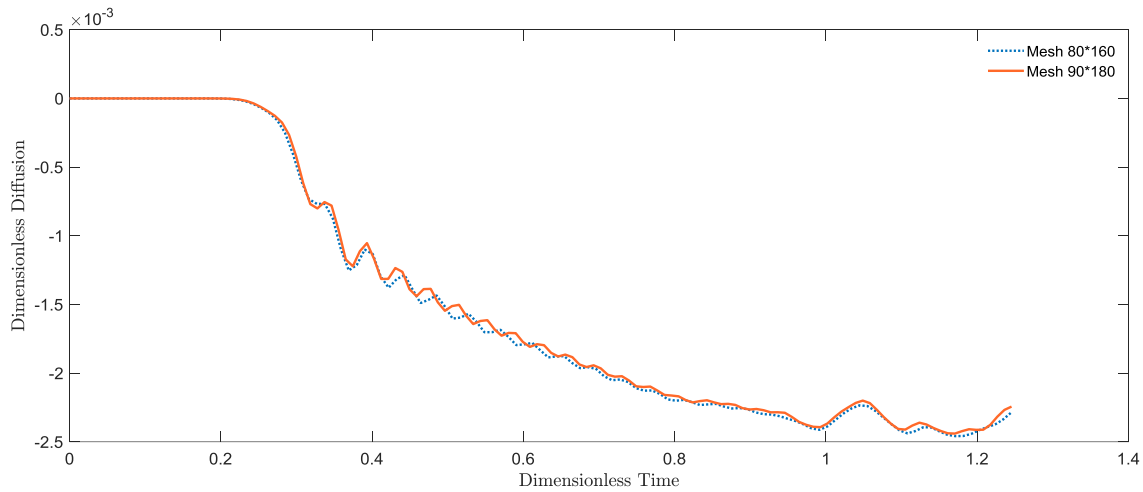
اثر بارگذاری‌های مختلف (شوگ گرمایی و غلظت) و همچنین اثر سرعت موج‌های غلظت و دما روی ضرایب شدت تنش برای ترک‌های مستقیم و مایل بررسی شده است. این

منحنی‌های تغییرات زمانی ضریب شدت تنش مود دوم حاصل از مدل‌سازی دو شبکه متفاوت متشکل از 160×80 و 180×90 المان در شکل ۲۱، نشان می‌دهند که نتایج به‌دست‌آمده تقریباً یکسان هستند. با رسیدن موج غلظت در زمان $t=0/2$ به نوک ترک، ضریب شدت تنش مود دوم شروع به کاهش می‌کند. نوسانات اضافی در نمودار تغییرات ضریب شدت تنش مود دوم به دلیل استفاده از روش ضمنی نیومارک رخ داده است. با رسیدن موج تنش در زمان $t=0/3$ ضریب شدت تنش مود دوم کاهش یافته تا با رسیدن موج غلظت در زمان $t=0/35$ ضریب شدت تنش افزایش پیدا کرده و به حالت نوسانات پیوسته خود ادامه می‌دهد. این نوسانات تا رسیدن بازتاب موج تنش و دما به نوک ادامه پیدا می‌کند با رسیدن موج تنش و دما ضریب شدت تنش شروع به کاهش و سپس افزایش رو آورده و بعد از سپری شدن موج‌ها دوباره به نوسانات پایدار خود می‌رسد.

منحنی‌های تغییرات زمانی دمای نوک ترک در شکل ۲۲ نشان داده شده است. با رسیدن موج دما به نوک ترک در زمان $t=0/25$ دمای نوک ترک به‌طور ناگهانی کاهش یافته است و ممکن است، از مقدار شوک دمایی اعمالی نیز تجاوز کند. با رسیدن موج غلظت در زمان $t=0/3$ دما در نوک ترک افزایش یافته تا موج تنش در زمان $t=0/375$ به نوک ترک رسیده است با تأثیرات موج تنش دمای نوک ترک کاهش پیدا کرده و به حالت نوسانات پیوسته با کاهش تدریجی به روند خود تا انتهای صفحه ادامه می‌دهد. این نوسانات تا



شکل ۲۲- دمای نوک ترک در مش بندی‌های مختلف برای ترک مایل



شکل ۲۳- انتشار نوک ترک در مش بندی‌های مختلف در ترک مایل

$$C^{CU} = \int_{\Omega^e} [NC]^T [\varepsilon^C \ \varepsilon^C \ 0] [BU] d\Omega \quad (۸۰)$$

$$C^{CC} = \int_{\Omega^e} [NC]^T [NC] d\Omega \quad (۸۱)$$

$$K = \begin{bmatrix} K^{UU} & K^{UC} & K^{UT} \\ 0 & K^{CC} & 0 \\ 0 & 0 & K^{TT} \end{bmatrix} \quad (۸۲)$$

$$K^{UU} = \int_{\Omega^e} [BU]^T [D] [BU] d\Omega \quad (۸۳)$$

$$K^{UC} = - \int_{\Omega^e} [BU]^T \begin{Bmatrix} 1 \\ 0 \end{Bmatrix} [NC] d\Omega \quad (۸۴)$$

$$K^{UT} = - \int_{\Omega^e} [BU]^T \begin{Bmatrix} 1 \\ 0 \end{Bmatrix} [NT] d\Omega \quad (۸۵)$$

$$K^{CC} = \hat{D}_0 \int_{\Omega^e} [BC]^T [BC] d\Omega \quad (۸۶)$$

$$K^{TT} = \int_{\Omega^e} \hat{\kappa}^* [BT]^T [BT] d\Omega \quad (۸۷)$$

$$[NU] = \begin{bmatrix} N_1 & 0 & N_2 & 0 & N_3 & 0 & N_4 & 0 \\ 0 & N_1 & 0 & N_2 & 0 & N_3 & 0 & N_4 \end{bmatrix} \quad (۸۸)$$

$$[NT] = [N_1 \ N_2 \ N_3 \ N_4] \quad (۸۹)$$

$$[NC] = [N_1 \ N_2 \ N_3 \ N_4] \quad (۹۰)$$

در غیاب توابع غنی‌سازی ماتریس‌های [BU] و [BT]، [BC] به صورت زیر بدست می‌آیند:

نتایج به دست آمده که برای حالت‌هایی که سرعت موج تنش و سرعت موج دما یکسان و بیشتر از سرعت موج غلظت است، افزایش ضریب شدت تنش سریع‌تر و بیشتر از حالت‌های دیگر است.

با توجه به نتایج عددی، سرعت امواج تنش، انتشار و دما تأثیر فراوانی بر ضرایب شدت تنش به خصوص در شروع شوک انتشار و حرارتی داشته است. با رسیدن امواج انتشار و دما به نوک ترک ضرایب شدت تنش شروع به افزایش کرده و روند افزایشی پیدا می‌کند.

۹- پیوست

برای یک المان مینا (e) ماتریس‌ها و بردارهای حاصل از گسسته سازی معادلات حاکم به صورت زیر به دست می‌آیند.

$$M = \begin{bmatrix} M^{UU} & 0 & 0 \\ 0 & M^{CC} & 0 \\ M^{TU} & 0 & M^{TT} \end{bmatrix} \quad (۷۴)$$

$$M^{UU} = \int_{\Omega^e} [NU]^T [NU] d\Omega \quad (۷۵)$$

$$M^{CC} = \hat{\tau}_0 \int_{\Omega^e} [NC]^T [NC] d\Omega \quad (۷۶)$$

$$M^{TU} = \int_{\Omega^e} [NT]^T [\varepsilon^T \ \varepsilon^T \ 0] [BU] d\Omega \quad (۷۷)$$

$$M^{TT} = \int_{\Omega^e} [NT]^T [NT] d\Omega \quad (۷۸)$$

$$C = \begin{bmatrix} 0 & 0 & 0 \\ C^{CU} & C^{CC} & 0 \\ 0 & 0 & 0 \end{bmatrix} \quad (۷۹)$$

$$[BU] = \begin{bmatrix} N_{1,x} & 0 & N_{2,x} & 0 & N_{3,x} & 0 & N_{4,x} & 0 \\ 0 & N_{1,y} & 0 & N_{2,y} & 0 & N_{3,y} & 0 & N_{4,y} \\ N_{1,y} & N_{1,x} & N_{2,y} & N_{2,x} & N_{3,y} & N_{3,x} & N_{4,y} & N_{4,x} \end{bmatrix} \quad (91)$$

[10] Aouadi M, Ciarletta M, Tibullo V (2016) A thermoelastic diffusion theory with microtemperatures and microconcentrations. *J Therm Stresses* 40(4): 486-501.

[11] Sharma N, Kumar R, Ram P (2008) Plane strain deformation in generalized thermoelastic diffusion. *Int J Thermophys* 29(4): 1503-1522.

[12] Li C, Guo H, Tian X (2017) Soret effect on the shock responses of generalized diffusion-thermoelasticity. *J Therm Stresses* 40(12): 1563-1574.

[13] Li C, Guo H, Tian X (2019) Transient responses of a hollow cylinder under thermal and chemical shock based on generalized diffusion-thermoelasticity with memory-dependent derivative. *J Therm Stresses* 42(3): 313-331.

[14] Zenkour AM (2020) Thermoelastic diffusion problem for a half-space due to a refined dual-phase-lag Green-Naghdi model. *J Ocean Eng Sci* 5(3): 214-222.

[15] Li C, He T, Tian X (2020) Nonlocal theory of thermoelastic diffusive materials and its application in structural dynamic thermo-elasto-diffusive responses analysis. *Wave Random Complex*.

[16] Zenkour AM (2020) Thermo-diffusion of a thick circular plate via modified Green-Naghdi models. *Arch Mech* 72(3): 235-256.

[17] Shih CF, Moran B, Nakamura T (1986) Energy release rate along a three dimensional crack front in a thermally stressed body. *Int J Frac* 30: 79-102.

[18] Roshani Zarmehri N, Nazari MB, Rokhi MM (2018) XFEM analysis of a 2D cracked finite domain under thermal shock based on Green-Lindsay theory. *Eng Fract Mech* 191: 286-299.

[19] Kim JH, Paulino GH (2003) An accurate scheme for mixed-mode fracture analysis of functionally graded materials using the interaction integral and micromechanics models. *Int J Numer Meth Engng* 58: 1457-1497.

[20] Hosseini S, Abolbashari M, Hosseini S (2014) Shock-induced molar concentration wave propagation and coupled non-Fick diffusion-elasticity analysis using an analytical method. *Acta Mech* 225(12): 3591-3599.

[21] Mahdizadeh Rokhi M, Shariati M (2013) Implementation of the extended finite element method for coupled dynamic thermoelastic fracture of a functionally graded cracked layer. *J Braz Soc Mech Sci* 35: 69-81.

$$[BT] = [BC] = \begin{bmatrix} N_{1,x} & N_{2,x} & N_{3,x} & N_{4,x} \\ N_{1,y} & N_{2,y} & N_{3,y} & N_{4,y} \end{bmatrix} \quad (92)$$

ماتریس خواص [D] برای حالت کرنش صفحه‌ای در فضای بی‌بعد به صورت زیر است.

$$[D] = \begin{bmatrix} \hat{\lambda} + 2\hat{\mu} & \hat{\lambda} & 0 \\ \hat{\lambda} & \hat{\lambda} + 2\hat{\mu} & 0 \\ 0 & 0 & \hat{\mu} \end{bmatrix} \quad (93)$$

۱۰- مراجع

- [1] Chandrasekharaiah DS (1998) Hyperbolic thermoelasticity: a review of recent literature. *Appl Mech Rev* 51(12): 705-729.
- [2] Green AE, Naghdi PM (1993) Thermoelasticity without energy dissipation. *J Elasticity* 31(3): 189-208.
- [3] Hetnarski RB, Eslami MR (2009) Thermal stresses – Advanced theory and applications. Springer, 2009.
- [4] Favregeon J, Montesin T, Bertrand G (2005) Mechano-chemical aspects of high temperature oxidation: a mesoscopic model applied to zirconium alloys. *Oxid Met* 64(3-4): 253-279.
- [5] Zhou H, Qu J, Cherkaoui M (2010) Stress-oxidation interaction in selective oxidation of Cr-Fe alloys. *Mech Mater* 42(1): 63-71.
- [6] Yaohong S, Shen S (2012) Dynamical theoretical model and variational principles for coupled temperature-diffusion-mechanics. *Acta Mech* 223(1): 29-41.
- [7] Hosseini SM, Sladek J, Sladek V (2015) Two dimensional analysis of coupled non-Fick diffusion-elastodynamics problems in functionally graded materials using meshless local Petrov-Galerkin (MLPG) method. *Appl Math Comput* 268: 937-946.
- [8] Othman MIA, Atwa SY, Farouk RM (2009) The effect of diffusion on two-dimensional problem of generalized thermoelasticity with Green-Naghdi theory. *Int Commun Heat Mass* 36(8): 857-864.
- [9] Li C, Guo H, Tian X (2017) Time-domain finite element analysis to nonlinear transient responses of generalized diffusion-thermoelasticity with variable thermal conductivity and diffusivity. *Int J Mech Sci* 131: 234-244.